

## บทที่ 4

### ผลการทดลองและอภิปรายผล

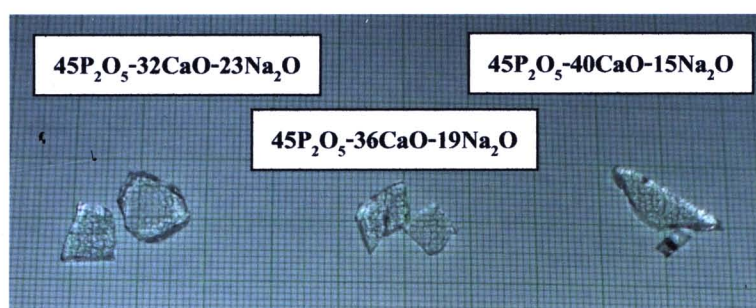
ในบทนี้เป็นการนำเสนอผลการทดลอง และ อภิปรายผลการทดลอง ของแก้วและแก้วเซรามิกแคลเซียมฟอสเฟต โดยจะทำการสังเคราะห์จากแก้วระบบฟอสฟอรัสแคลเซียมโซเดียมออกไซด์ ( $P_2O_5$ -CaO-Na<sub>2</sub>O) จากกระบวนการหลอมแบบดั้งเดิม และศึกษาสมบัติทางกายภาพ สมบัติทางความร้อน และ องค์ประกอบเฟสของแก้ว จากนั้นจึงเตรียมเป็นแก้วเซรามิกแคลเซียมฟอสเฟตที่มีรูพรุนจากแก้วระบบ  $P_2O_5$ -CaO-Na<sub>2</sub>O โดยมีจุดมุ่งหมายเพื่อศึกษาขั้นตอน และวิธีการเตรียมแก้วและแก้วเซรามิกแคลเซียมฟอสเฟตที่มีรูพรุน รวมถึงปัจจัยต่างๆ ที่เกี่ยวข้อง ตลอดจนศึกษาถึงสมบัติในด้านต่างๆ ของแก้วเซรามิกดังกล่าว ประกอบด้วย การวิเคราะห์เฟสองค์ประกอบ สมบัติทางกายภาพ โครงสร้างทางจุลภาค และสมบัติเชิงกล ตลอดจนการอภิปรายผลการทดลอง โดยมีรายละเอียดของผลการทดลองดังนี้

#### 4.1 ผลการศึกษาการเตรียมแก้ว ในระบบ $P_2O_5$ -CaO-Na<sub>2</sub>O

การศึกษาแก้วระบบฟอสฟอรัสแคลเซียมโซเดียมออกไซด์ ( $P_2O_5$ -CaO-Na<sub>2</sub>O) ในการทดลองนี้ จะให้ปริมาณของ  $P_2O_5$  เท่ากับร้อยละ 45 โดยโมล ซึ่งจะให้สมบัติทางชีวภาพที่ดี และทำการศึกษาการเปลี่ยนแปลงที่เพิ่มขึ้นของปริมาณ CaO และการลดลงของ Na<sub>2</sub>O ที่มีต่อสมบัติของแก้ว จะเริ่มจากการเตรียมชิ้นงานแก้ว โดยการผสมสารตั้งต้นของแก้ว คือ  $(NH_4)_2HPO_3$ ,  $CaCO_3$  และ  $Na_2CO_3$  เข้าด้วยกัน ตามอัตราส่วนที่กำหนดทั้ง 3 คือ ( $P_{45}O_5$ - $32CaO$ - $23Na_2O$ ) ( $45P_2O_5$ - $36CaO$ - $19Na_2O$ ) และ ( $45P_2O_5$ - $40CaO$ - $15Na_2O$ ) ในถ้วยหลอมอะลูมินา เงื่อนไขของอุณหภูมิการหลอมแก้วที่  $1200^\circ C$  เป็นเวลา 1 ชั่วโมง จากนั้นทำให้เย็นตัวลงอย่างรวดเร็ว (quenched) ลงบนแผ่นเหล็กกล้าไร้สนิม จะได้แก้วที่มีลักษณะเป็นชิ้นเล็กๆ นำไปวัดค่าความหนาแน่นด้วยหลักการแทนที่ของ Archimedes แล้วนำแก้วที่ได้ไปบดเป็นผงเพื่อนำไปวิเคราะห์ทางความร้อนด้วยเทคนิค DTA และวิเคราะห์เฟสองค์ประกอบด้วยเทคนิค XRD เพื่อหาเงื่อนไขที่เหมาะสมในการเตรียมแก้วเซรามิกแคลเซียมฟอสเฟตที่มีรูพรุนต่อไป

#### 4.1.1 ลักษณะทางกายภาพ

จากการเตรียมแก้วระบบ  $P_2O_5$ -CaO-Na<sub>2</sub>O ด้วยวิธีการหลอมแบบดั้งเดิมนั้น พบว่า ลักษณะของชิ้นงานแก้วที่เตรียมได้จากการหลอม ทั้ง 3 สูตร คือ ( $45P_2O_5$ -32CaO-23Na<sub>2</sub>O) ( $45P_2O_5$ -36CaO-19Na<sub>2</sub>O) และ ( $45P_2O_5$ -40CaO-15Na<sub>2</sub>O) จะมีลักษณะใส ไม่มีสี และแสงทะลุผ่านได้ ดังแสดงในรูป 4.1



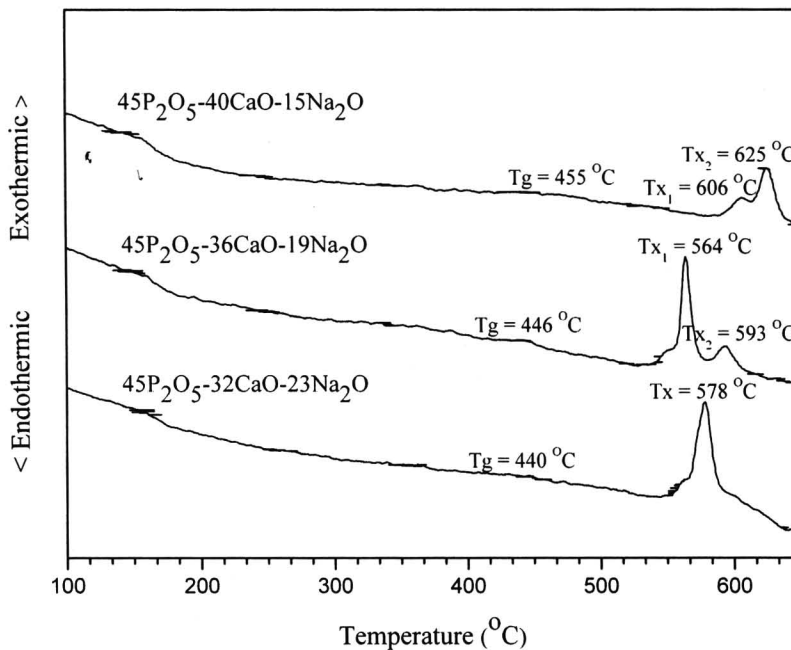
รูป 4.1 ลักษณะทางกายภาพของชิ้นงานแก้วที่ผ่านการหลอม

เมื่อนำแก้วที่ได้ทั้ง 3 สูตรไปบดเป็นผงละเอียดด้วยเครื่องบดไฟฟ้า retsch เป็นเวลา 1 ชั่วโมง และนำไปวิเคราะห์ขนาดอนุภาคด้วยกล้องจุลทรรศน์อิเล็กตรอนแบบส่องกราด (SEM) จะได้ขนาดอนุภาคเฉลี่ยของแก้วสูตร ( $45P_2O_5$ -32CaO-23Na<sub>2</sub>O) ( $45P_2O_5$ -36CaO-19Na<sub>2</sub>O) และ ( $45P_2O_5$ -40CaO-15Na<sub>2</sub>O) ที่ใกล้เคียงกัน คือ 2.322 2.316 และ 2.328  $\mu$ m ตามลำดับ

#### 4.1.2 ผลการวิเคราะห์ทางความร้อนด้วยเทคนิค DTA

การวิเคราะห์ทางความร้อนของผงแก้วทั้ง 3 สูตรที่สังเคราะห์ขึ้นในการทดลอง คือ ( $45P_2O_5$ -32CaO-23Na<sub>2</sub>O) ( $45P_2O_5$ -36CaO-19Na<sub>2</sub>O) และ ( $45P_2O_5$ -40CaO-15Na<sub>2</sub>O) จะใช้เทคนิค DTA โดยมีเงื่อนไขของอุณหภูมิตั้งแต่อุณหภูมิห้อง (ประมาณ 28°C) ไปจนถึงอุณหภูมิ 650°C ด้วยอัตราการขึ้นของอุณหภูมิคือ 10°C/min และใช้ผงอะลูมินา (Al<sub>2</sub>O<sub>3</sub>) เป็นตัวเทียบมาตรฐาน จะได้รูปแบบดังแสดงในรูป 4.2 จะพบว่า มีทั้งกระบวนการดูด (endothermic) และคายพลังงาน (exothermic) เกิดขึ้น โดย อุณหภูมิการแปลงเฟสของแก้ว (T<sub>g</sub>) จะเพิ่มขึ้นเมื่อมีการเพิ่มปริมาณของ CaO และ แก้วที่มี CaO เท่ากับร้อยละ 32 โดยโมลจะพบการคายพลังงานที่ 578°C ที่ร้อยละ 36 จะ

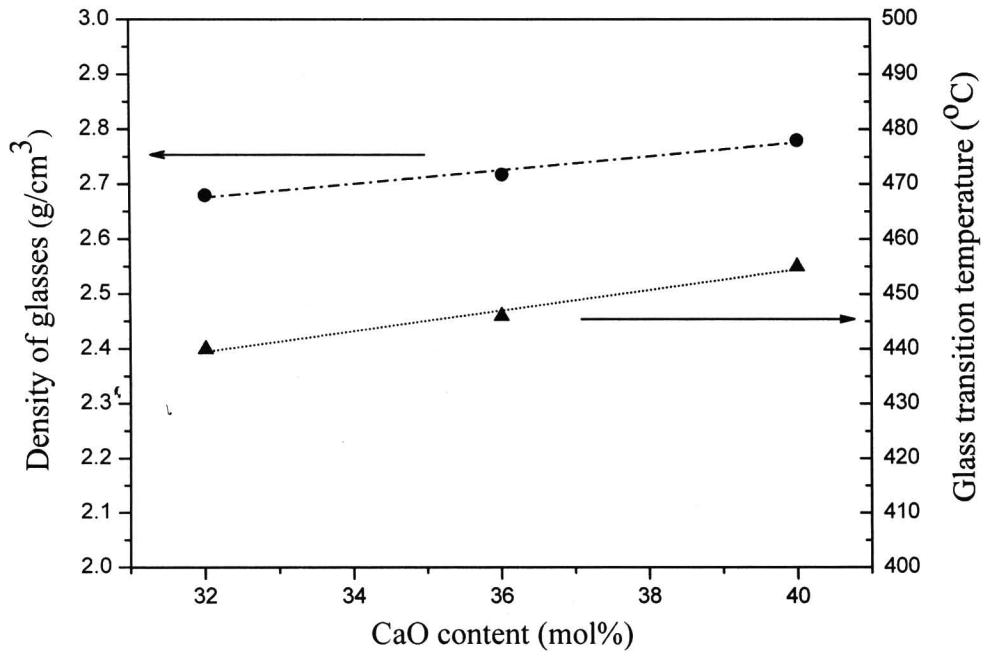
พบการคายพลังงานสองตำแหน่งคือ  $564^{\circ}\text{C}$  และ  $593^{\circ}\text{C}$  และที่ร้อยละ 40 โดยโมล จะพบการคายพลังงานที่สองตำแหน่งเช่นเดียวกันคือ  $606^{\circ}\text{C}$  และ  $625^{\circ}\text{C}$  ซึ่งตำแหน่งการคายพลังงานนี้ก็คือตำแหน่งของอุณหภูมิการเกิดผลึก ( $T_x$ ) ดังนั้นแก้วทั้ง 3 สูตรจะเกิดผลึกในช่วง  $500 - 650^{\circ}\text{C}$  ซึ่งเป็นช่วงอุณหภูมิที่จะนำไปใช้ในการเผาผนึก (sintered) เพื่อทำแก้วเซรามิกแคลเซียมฟอสเฟตที่มีรูปพรุนต่อไป



รูป 4.2 แสดงผลการวิเคราะห์ทางความร้อนด้วยเทคนิค DTA ของแก้วสูตร ( $45\text{P}_2\text{O}_5-32\text{CaO}-23\text{Na}_2\text{O}$ ) ( $45\text{P}_2\text{O}_5-36\text{CaO}-19\text{Na}_2\text{O}$ ) และ ( $45\text{P}_2\text{O}_5-40\text{CaO}-15\text{Na}_2\text{O}$ )

#### 4.1.3 ผลการวิเคราะห์ทางกายภาพ

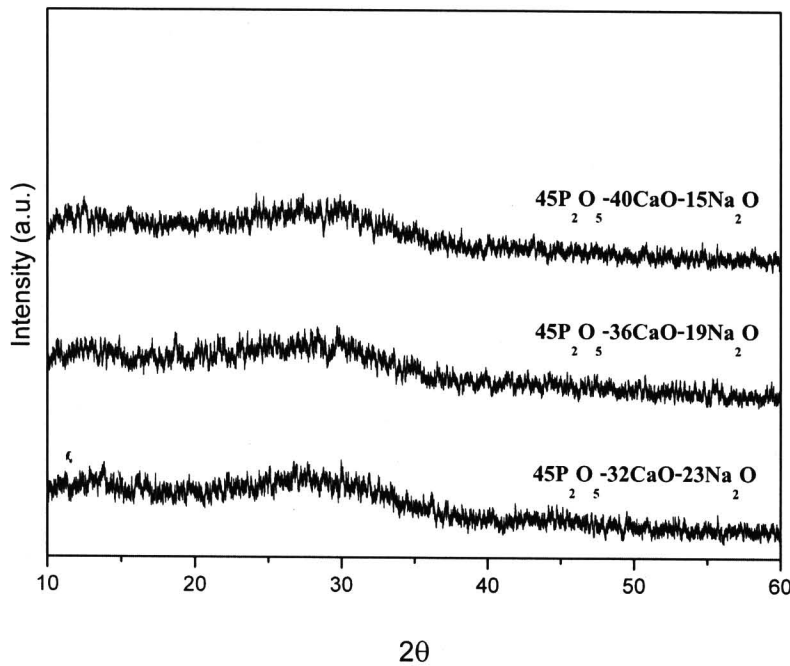
เมื่อนำชิ้นงานแก้วมาตรวจสอบสมบัติทางกายภาพ โดยการหาค่าความหนาแน่นด้วยหลักการแทนที่ของ Archimedes พบว่า แนวโน้มความหนาแน่นของแก้วจะเพิ่มสูงขึ้น เมื่อมีการเพิ่มปริมาณ CaO เพราะ ไอออน  $\text{Ca}^{2+}$  จะไปสร้าง cross-link ระหว่าง non-bridging ของออกซิเจนของโครงสร้างฟอสเฟต ทำให้โครงสร้างมีความแข็งแรงเพิ่มขึ้น จึงมีผลต่อความหนาแน่นที่สูงขึ้น นอกจากนี้การเพิ่มขึ้นของความหนาแน่น ก็มีแนวโน้มเดียวกันกับการเพิ่มขึ้นของอุณหภูมิการแปลงเฟสของแก้ว ( $T_g$ ) เนื่องจากการเพิ่ม CaO ดังแสดงในรูป 4.3



รูป 4.3 แสดงความสัมพันธ์ระหว่างความหนาแน่น และ อุณหภูมิการแปลงเฟสของแก้วระบบ  $P_2O_5$ -CaO- $Na_2O$  ที่ปริมาณ CaO ต่างกัน

#### 4.1.4 ผลการตรวจสอบเฟสองค์ประกอบด้วยเทคนิค XRD

การตรวจสอบเฟสองค์ประกอบของผงแก้วทั้ง 3 สูตร คือ  $(45P_2O_5-32CaO-23Na_2O)$   $(45P_2O_5-36CaO-29Na_2O)$  และ  $(45P_2O_5-40CaO-15Na_2O)$  ด้วยเทคนิค XRD พบว่า แก้วที่ผ่านการหลอมนั้น ไม่มีความเป็นผลึกอยู่เลย หรืออาจกล่าวได้ว่ามีความเป็นอสัณฐาน (amorphous) โดยพิจารณาได้จากลักษณะของรูปแบบการเลี้ยวเบนของรังสีเอกซ์ ดังรูปที่ 4.4 ซึ่งมีลักษณะพีคกว้าง (broad) แบบอสัณฐาน



รูป 4.4 รูปแบบการเลี้ยวเบนของรังสีเอกซ์ของแก้วระบบ  $P_2O_5$ -CaO- $Na_2O$  ที่ผ่านการหลอม

#### 4.2 ผลการศึกษาการเตรียมแก้วเซรามิกแคลเซียมฟอสเฟตที่มีรูพรุน

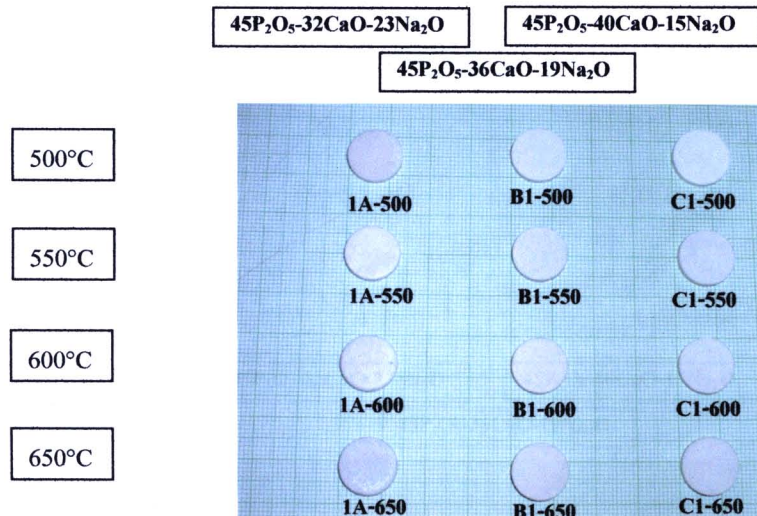
ในการเตรียมแก้วเซรามิกแคลเซียมฟอสเฟตที่มีรูพรุนนั้น จะได้จากการนำแก้วระบบ  $P_2O_5$ -CaO- $Na_2O$  มาบดให้ละเอียด จากนั้นนำไปผสมกับการบур ซึ่งเป็นสารเคมีที่ใช้ในการสร้างความพรุน ในอัตราส่วนต่างๆ จากนั้นนำไปอัดเป็นเม็ด หนัก 1 กรัม และขนาดเส้นผ่านศูนย์กลาง 15 มิลลิเมตร จากนั้นนำไปเผาที่อุณหภูมิ  $500-650^{\circ}C$  เป็นเวลา 2 ชั่วโมง โดยมีอัตราการขึ้นและลงของอุณหภูมิ คือ  $5^{\circ}C/min$  และ  $5^{\circ}C/min$  ช่วงอุณหภูมินี้เองเป็นช่วงอุณหภูมิการเกิดผลึกของแก้วของแก้วระบบ  $P_2O_5$ -CaO- $Na_2O$  ที่ได้จากการวิเคราะห์ทางความร้อนด้วย DTA ในกระบวนการเผาผืนี้เนื่องการบурจะระเหยออกไปจากเม็ดสารแก้วเซรามิก จะเกิดเป็นรูพรุนขึ้นในเม็ดเซรามิก จากนั้นนำเม็ดสารแก้วเซรามิกแคลเซียมฟอสเฟตที่เตรียมได้ มาทำการวิเคราะห์เฟสองค์ประกอบที่เกิดขึ้นด้วยเทคนิค XRD สมบัติทางกายภาพ โครงสร้างจุลภาค และสมบัติเชิงกล ตามลำดับ

#### 4.2.1 ลักษณะทางกายภาพ

เม็ดสารแก้วเซรามิกแคลเซียมฟอสเฟตที่มีรูพรุน ที่เตรียมจากแก้วระบบ  $P_2O_5$ -CaO- $Na_2O$  ทั้ง 3 สูตร ผสมกับการบурในอัตราส่วนต่างๆ จากนั้นก็นำไปเผาผนึกที่อุณหภูมิ 500 550 600 และ  $650^{\circ}C$  ตามลำดับ เป็นเวลา 2 ชั่วโมง โดยมีอัตราการขึ้นและลงของอุณหภูมิ คือ  $5^{\circ}C/min$  และ  $5^{\circ}C/min$  ซึ่งการบурจะระเหยออกในกระบวนการเผาผนึกนี้ เม็ดสารแก้วเซรามิกที่เตรียมได้ แสดงดังรูป 4.5 ซึ่งในรูปจะมีการกำหนดชื่อของเม็ดสารแก้วเซรามิก เพื่อความสะดวกในการอธิบายผลการทดลอง

#### Composition 10:0

(glass : camphor)



รูป 4.5 เม็ดสารแก้วเซรามิกแคลเซียมฟอสเฟต ที่ผสมการบурในอัตราส่วน 10:0 และผ่านการเผาผนึกที่อุณหภูมิ  $500-650^{\circ}C$

**Composition 7:3**

(glass : camphor)



500°C

550°C

600°C

650°C



รูป 4.6 เม็ดสารแก้วเซรามิกแคลเซียมฟอสเฟต ที่ผสมการบูรในอัตราส่วน 7:3 และผ่านการเผา  
 ผนึกที่อุณหภูมิ 500-650°C

**Composition 5:5**

(glass : camphor)



500°C

550°C

600°C

650°C



รูป 4.7 เม็ดสารแก้วเซรามิกแคลเซียมฟอสเฟต ที่ผสมการบูรในอัตราส่วน 5:5 และผ่านการเผา  
 ผนึกที่อุณหภูมิ 500-650°C

จากรูปจะพบว่าเม็ดสารแก้วเซรามิกแคลเซียมฟอสเฟตที่มีรูพรุนที่เตรียมได้ จะมีสีขาว และสังเกตเห็นรูพรุนชัดเจนในอัตราส่วน 7:3 และ 5:5 จากการสังเกตด้วยสายตาจะพบว่าเม็ดสารมีการหดตัวที่แตกต่างกัน และมีการหดตัวสูงที่เม็ดสารแก้วเซรามิกจากการสูตร  $45\text{P}_2\text{O}_5\text{-}32\text{CaO}\text{-}23\text{Na}_2\text{O}$  นอกจากนี้เม็ดสารจะมีออกคล้ำเล็กน้อยในบางอัตราส่วน คาดว่าจะเกิดจากการเผาไหม้ไม่สมบูรณ์ของการบुर จึงเหลือธาตุคาร์บอนปนอยู่บ้างเล็กน้อย

#### 4.2.2 การศึกษาเฟสองค์ประกอบของแก้วเซรามิกแคลเซียมฟอสเฟตที่มีรูพรุนด้วยเทคนิค

##### XRD

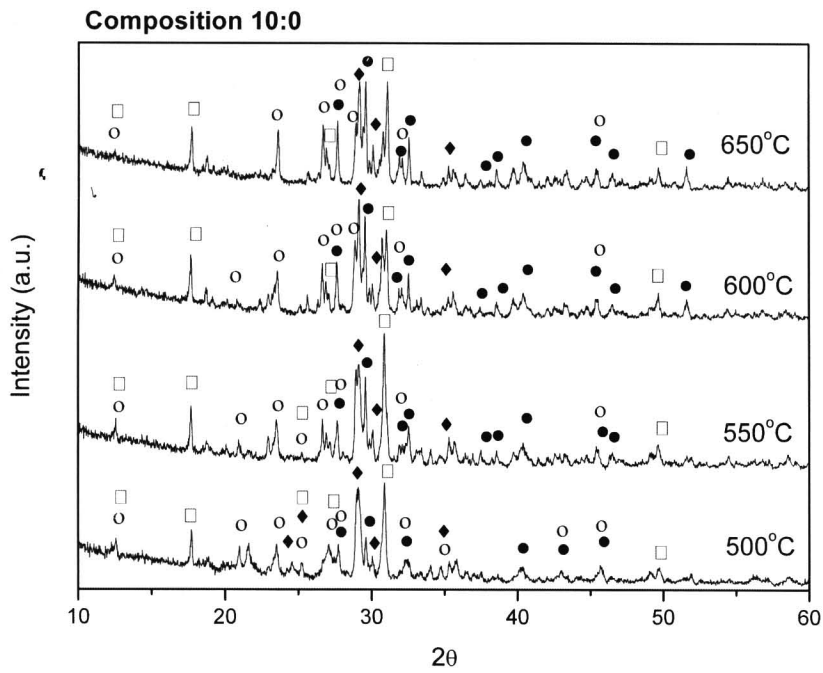
การตรวจสอบเฟสองค์ประกอบของเม็ดสารแก้วเซรามิกแคลเซียมฟอสเฟตที่มีรูพรุน ที่ผสมการบुरในอัตราส่วนต่างๆ เผาฟลักที่อุณหภูมิ  $500\text{-}650^\circ\text{C}$  ด้วยเทคนิค XRD จะพบว่ามีการเปลี่ยนแปลงของรังสีเอกซ์ ดังรูป 4.8-4.16 ซึ่งจะเห็นได้ว่า เม็ดสารแก้วเซรามิกที่ผ่านการเผาฟลักทั้ง 4 อุณหภูมิ ทั้งที่มีรูพรุนที่เกิดจากการบुर และที่ไม่มีผสมการบुर จะมีการเปลี่ยนแปลงของรังสีเอกซ์สอดคล้องกับเฟสทั้งหมด 4 เฟส จากผลึกของสาร 2 กลุ่มคือ แคลเซียมฟอสเฟต  $\beta\text{-Ca}_2\text{P}_2\text{O}_7$  ตรงกับข้อมูล JCPDS หมายเลข 03-0604 จากฐานข้อมูลไม่ระบุว่ามีโครงสร้างแบบไหน แต่ระบุว่าผลึกอ้างอิงจากกระดูกธรรมชาติ (bonner) และ  $\text{Ca}_2\text{P}_2\text{O}_7$  ตรงกับข้อมูล JCPDS หมายเลข 73-0440 มีโครงสร้างผลึกแบบโมโนคลินิก (monoclinic) และผลึกของโซเดียมฟอสเฟต  $\text{NaPO}_3$  ตรงกับข้อมูล JCPDS หมายเลข 76-0788 โครงสร้างผลึกแบบโมโนคลินิก (monoclinic) และ  $\text{NaPO}_3$  ตรงกับข้อมูล JCPDS หมายเลข 11-0650 โครงสร้างผลึกแบบโมโนคลินิก (monoclinic) เช่นเดียวกัน แต่มีความยาวของแกนและมุมของโครงสร้างต่างกัน จากการศึกษา งานวิจัยของ Tulyaganov และ คณะ เรื่องการสังเคราะห์แก้วเซรามิกระบบ  $\text{CaO}\text{-}\text{MgO}\text{-}\text{SiO}_2$  ที่มีการเติมสาร  $\text{B}_2\text{O}_3$ ,  $\text{P}_2\text{O}_5$ ,  $\text{Na}_2\text{O}$  และ  $\text{CaF}_2$  [29] พบการเกิดเฟสของสาร 3 ชนิด แต่มีพีคจากการวิเคราะห์ด้วย DTA เพียงตำแหน่งเดียว Tulyaganov ได้อธิบายไว้ว่า ณ ตำแหน่งของ  $T_x$  จากการวิเคราะห์ด้วย DTA จะมีการเกิดเฟสของสารมากกว่าหนึ่งเฟส (the former two phases were the dominant ones) แต่ในงานวิจัยนี้ไม่สามารถสรุปได้อย่างแน่ชัดว่าเฟสที่เกิดขึ้นจะสอดคล้องกับงานวิจัยของ Tulyaganov เพราะอาจมีปัจจัยอื่นที่มีผลต่อการเกิดเฟสในลักษณะนี้ ดังนั้น ควรมีการวิเคราะห์การเกิดเฟสของชิ้นงานแก้ว (bulk glass) ร่วมกับการเกิดเฟสจากเม็ดสารแก้วเซรามิก (glass powder compact) นอกจากนี้ความพรุนในเม็ดสารก็เป็นตัวขัดขวางการเกิดผลึก เพราะ เมื่อพิจารณาความเข้มของพีคที่เกิดจากเม็ดสารที่ไม่ผสมการบुर จะมีความเข้มสูงกว่าเม็ดสารที่ผสมการบुर โดยที่เฟสโซเดียมฟอสเฟตจะมีพีคเข้มขึ้นเมื่อเผาจาก  $500^\circ\text{C}$  ไปถึง  $550^\circ\text{C}$  แต่เมื่อเผาที่อุณหภูมิสูงขึ้นอีก

ความเข้มของฟลักซ์โซเดียมฟอสเฟตจะลดลง ในขณะที่ความเข้มของฟลักซ์แคลเซียมฟอสเฟตเพิ่มสูงขึ้น

เม็ดสารแก้วเซรามิกที่มาจากแก้วสูตรที่มี CaO เท่ากับร้อยละ 32 เฟสหลักที่พบเป็น โซเดียมฟอสเฟต หมายเลข 11-0650 ฟลักซ์คือโซเดียมฟอสเฟต หมายเลข 76-0788 โดยที่เฟสโซเดียมฟอสเฟตจะมีฟลักซ์เพิ่มขึ้นเมื่อเผาจาก  $500^{\circ}\text{C}$  ไปถึง  $550^{\circ}\text{C}$  และลดลงเมื่อเพิ่มจาก  $550-650^{\circ}\text{C}$  และพบเฟสแคลเซียมฟอสเฟต หมายเลข 03-0406 มีความเข้มฟลักซ์สูงขึ้นเมื่ออุณหภูมิเผาเพิ่มขึ้น และที่อุณหภูมิ  $650^{\circ}\text{C}$  แคลเซียมฟอสเฟตมีความเข้มฟลักซ์ เท่ากับโซเดียมฟอสเฟต ที่เป็นเฟสรอง เม็ดสารแก้วเซรามิกที่มาจากแก้วสูตรที่มี CaO เท่ากับร้อยละ 36 พบความเข้มฟลักซ์โซเดียมฟอสเฟต หมายเลข 76-0788 จะมีฟลักซ์เพิ่มขึ้นเมื่อเผาจาก  $500^{\circ}\text{C}$  ไปถึง  $550^{\circ}\text{C}$  และลดลงเมื่อเพิ่มจาก  $550-650^{\circ}\text{C}$  และพบเฟสแคลเซียมฟอสเฟต หมายเลข 03-0406 มีความเข้มฟลักซ์สูงขึ้นเมื่ออุณหภูมิเผาเพิ่มขึ้น แต่เฟสทั้งสองมีความเข้มฟลักซ์ไม่ต่างกัน และ เม็ดสารแก้วเซรามิกที่มาจากแก้วสูตรที่มี CaO เท่ากับร้อยละ 40 พบเฟสหลัก เป็น โซเดียมฟอสเฟต ที่อัตราส่วน 7:3 และ 5:5 ที่อุณหภูมิ  $500$  และ  $550^{\circ}\text{C}$  และ 10:0 ที่  $500^{\circ}\text{C}$  แต่ที่ อัตราส่วน 10:0 ที่เผาที่  $500^{\circ}\text{C}$  หรือเม็ดสาร 1A-500 พบแต่แคลเซียมฟอสเฟต และเมื่อเผาสูงขึ้น เฟสของแคลเซียมฟอสเฟตกลับสูงขึ้น จน แคลเซียมฟอสเฟตกลายเป็นเฟสหลัก ที่เป็นเช่นนี้เพราะ เม็ดสารแก้วเซรามิกที่มาจากแก้วสูตรที่มี CaO เท่ากับร้อยละ 32 และ 36 มีอุณหภูมิเกิดผลึกที่ใกล้เคียงกัน ประกอบกับมีปริมาณ  $\text{Na}_2\text{O}$  มากจึงมีฟลักซ์โซเดียมฟอสเฟตสูง ดังนั้นจากข้อมูลนี้เอง เมื่อนำมาพิจารณาร่วมกับข้อมูลทางความร้อนจากการวิเคราะห์ด้วย DTA จะสามารถบอกได้ว่า เฟสของผลึกโซเดียมฟอสเฟตจะเกิดเป็นผลึกที่สมบูรณ์ก่อนแคลเซียมฟอสเฟต ที่ปริมาณ CaO ร้อยละ 36 อุณหภูมิการเกิดผลึก จาก DTA คือ  $578^{\circ}\text{C}$  เกิดเฟสของทั้ง โซเดียมฟอสเฟต และ แคลเซียมฟอสเฟต จึงปรากฏออกฟลักซ์อุณหภูมิการเกิดผลึกที่ตำแหน่งเดียว ที่ปริมาณ CaO ร้อยละ 36 อุณหภูมิเกิดผลึก คือ  $564^{\circ}\text{C}$  และ  $625^{\circ}\text{C}$  จะเกิดผลึกโซเดียมฟอสเฟต และ แคลเซียมฟอสเฟต ตามลำดับ เช่นเดียวกับที่ CaO ร้อยละ 40 ที่จะเกิดผลึกโซเดียมฟอสเฟต และแคลเซียมฟอสเฟต ที่อุณหภูมิ  $606^{\circ}\text{C}$  และ  $625^{\circ}\text{C}$  ตามลำดับ



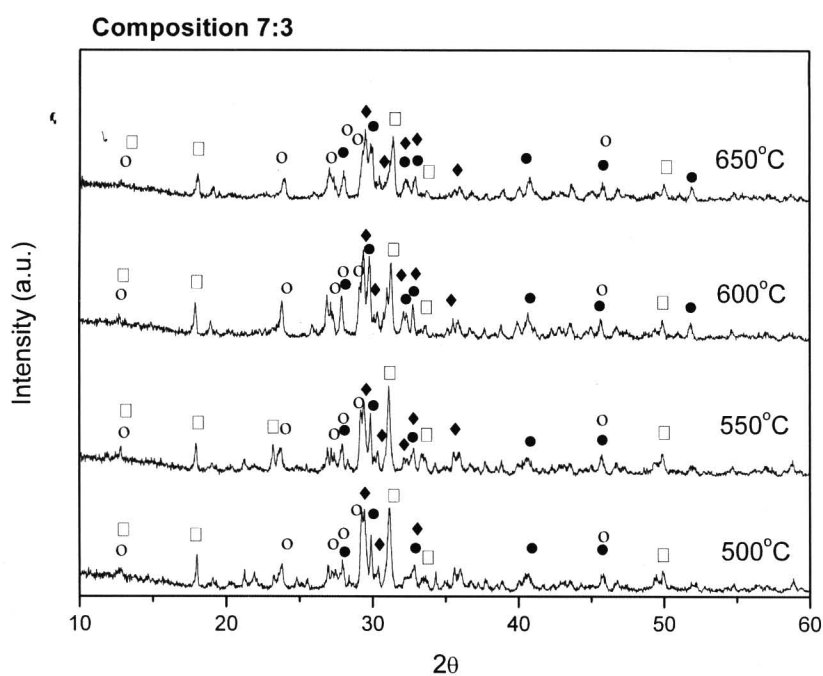
- $\beta\text{-Ca}_2\text{P}_2\text{O}_7$  files no. 03-0604
- $\text{Ca}_2\text{P}_2\text{O}_7$  files no. 73-0440
- ◆  $\text{NaPO}_3$  files no. 78-0788
- $\text{NaPO}_3$  files no. 11-0650



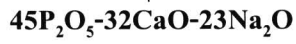
รูป 4.8 รูปแบบการเลี้ยวเบนของรังสีเอกซ์ของเม็ดสารแก้วเซรามิกแคลเซียมฟอสเฟต ที่มาจากแก้ว  
สูตร  $45\text{P}_2\text{O}_5\text{-}32\text{CaO}\text{-}23\text{Na}_2\text{O}$  อัตราส่วน 10:0



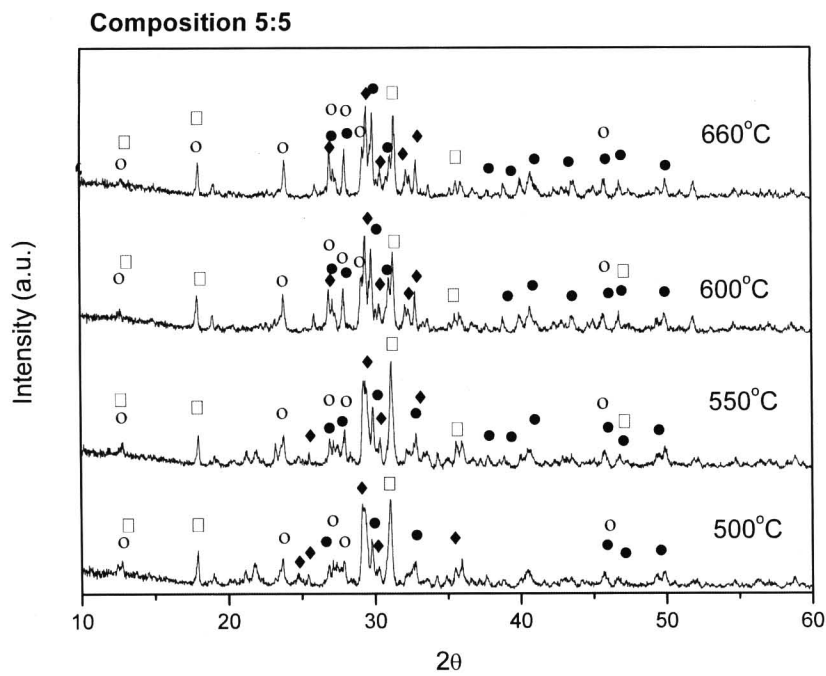
- $\beta\text{-Ca}_2\text{P}_2\text{O}_7$  files no. 03-0604
- $\text{Ca}_2\text{P}_2\text{O}_7$  files no. 73-0440
- ◆  $\text{NaPO}_3$  files no. 78-0788
- $\text{NaPO}_3$  files no. 11-0650



รูป 4.9 รูปแบบการเลี้ยวเบนของรังสีเอกซ์ของเม็ดสารแก้วเซรามิกแคลเซียมฟอสเฟต ที่มาจาก แก้วสูตร  $45\text{P}_2\text{O}_5\text{-}32\text{CaO}\text{-}23\text{Na}_2\text{O}$  อัตราส่วน 7:3



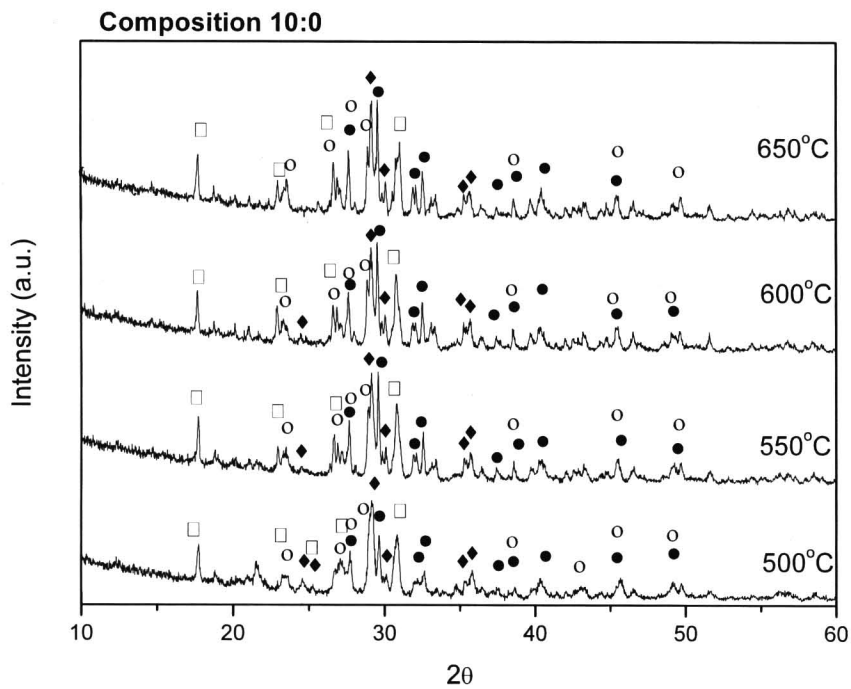
- $\beta\text{-Ca}_2\text{P}_2\text{O}_7$  files no. 03-0604
- $\text{Ca}_2\text{P}_2\text{O}_7$  files no. 73-0440
- ◆  $\text{NaPO}_3$  files no. 78-0788
- $\text{NaPO}_3$  files no. 11-0650



รูป 4.10 รูปแบบการเลี้ยวเบนของรังสีเอกซ์ของเม็ดสารแก้วเซรามิกแคลเซียมฟอสเฟต ที่มาจาก  
แก้วสูตร  $45\text{P}_2\text{O}_5\text{-}32\text{CaO}\text{-}23\text{Na}_2\text{O}$  อัตราส่วน 5:5



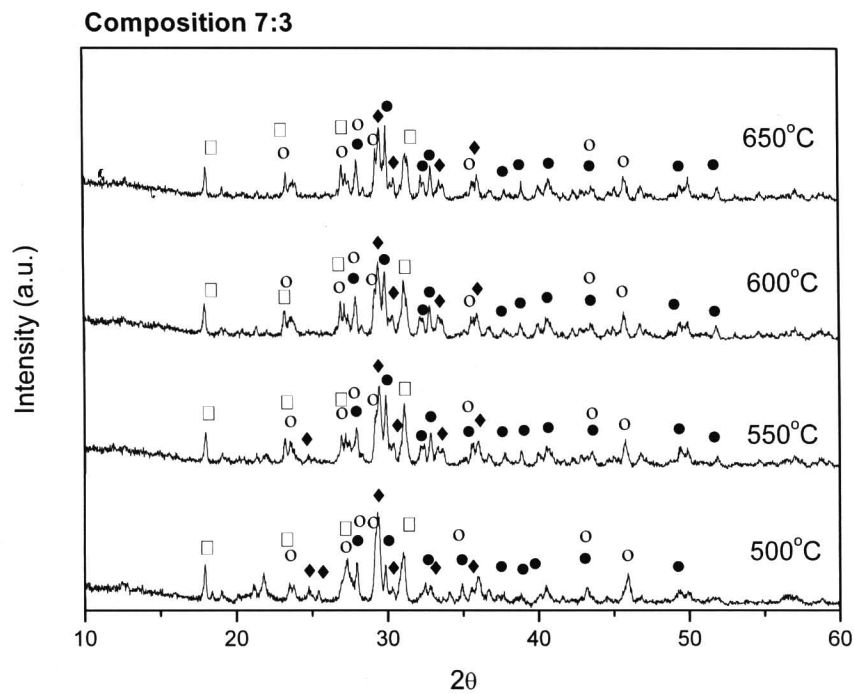
- $\beta\text{-Ca}_2\text{P}_2\text{O}_7$  files no. 03-0604
- $\text{Ca}_2\text{P}_2\text{O}_7$  files no. 73-0440
- ◆  $\text{NaPO}_3$  files no. 78-0788
- $\text{NaPO}_3$  files no. 11-0650



รูป 4.11 รูปแบบการเลี้ยวเบนของรังสีเอกซ์ของเม็ดสารแก้วเซรามิกแคลเซียมฟอสเฟต ที่มาจาก  
แก้วสูตร  $45\text{P}_2\text{O}_5\text{-}36\text{CaO}\text{-}19\text{Na}_2\text{O}$  อัตราส่วน 10:0



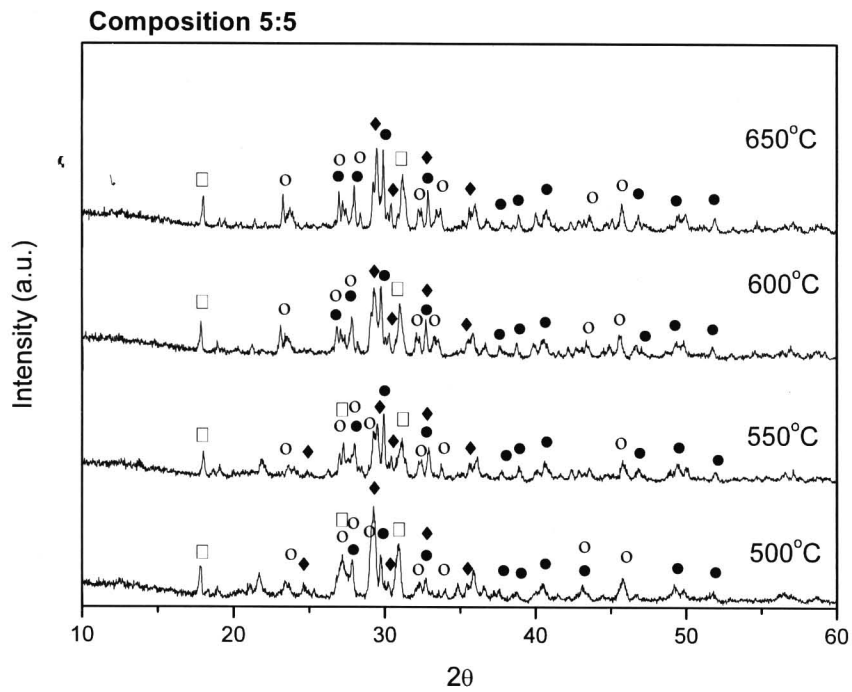
- $\beta\text{-Ca}_2\text{P}_2\text{O}_7$  files no. 03-0604
- $\text{Ca}_2\text{P}_2\text{O}_7$  files no. 73-0440
- ◆  $\text{NaPO}_3$  files no. 78-0788
- $\text{NaPO}_3$  files no. 11-0650



รูป 4.12 รูปแบบการเลี้ยวเบนของรังสีเอกซ์ของเม็ดสารแก้วเซรามิกแคลเซียมฟอสเฟต ที่มาจาก  
แก้วสูตร  $45\text{P}_2\text{O}_5\text{-}36\text{CaO}\text{-}19\text{Na}_2\text{O}$  อัตราส่วน 7:3



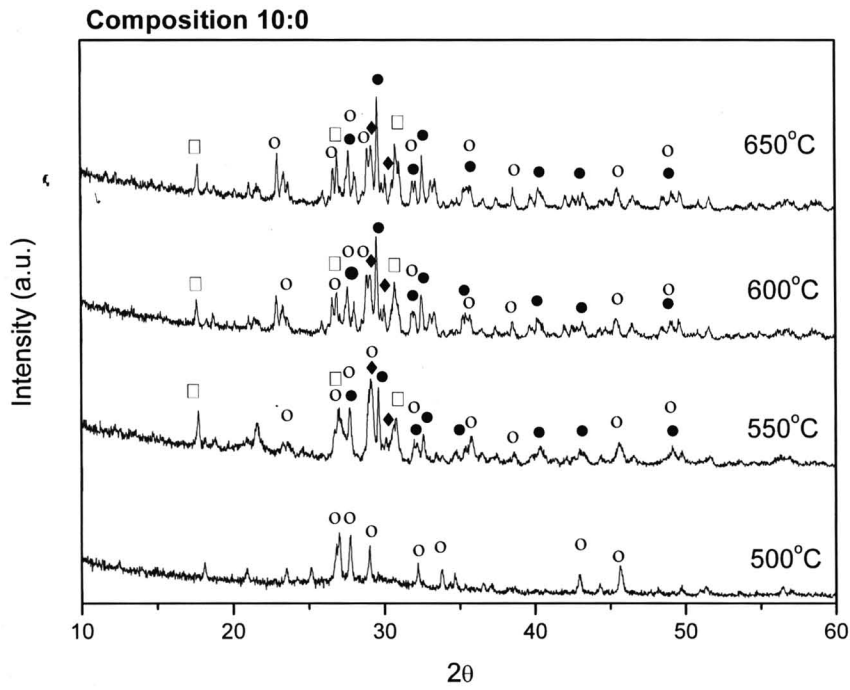
- $\beta\text{-Ca}_2\text{P}_2\text{O}_7$  files no. 03-0604
- $\text{Ca}_2\text{P}_2\text{O}_7$  files no. 73-0440
- ◆  $\text{NaPO}_3$  files no. 78-0788
- $\text{NaPO}_3$  files no. 11-0650



รูป 4.13 รูปแบบการเลี้ยวเบนของรังสีเอกซ์ของเม็ดสารแก้วเซรามิกแคลเซียมฟอสเฟต ที่มาจาก แก้วสูตร  $45\text{P}_2\text{O}_5\text{-}36\text{CaO}\text{-}19\text{Na}_2\text{O}$  อัตราส่วน 5:5

$45\text{P}_2\text{O}_5\text{-}40\text{CaO}\text{-}15\text{Na}_2\text{O}$

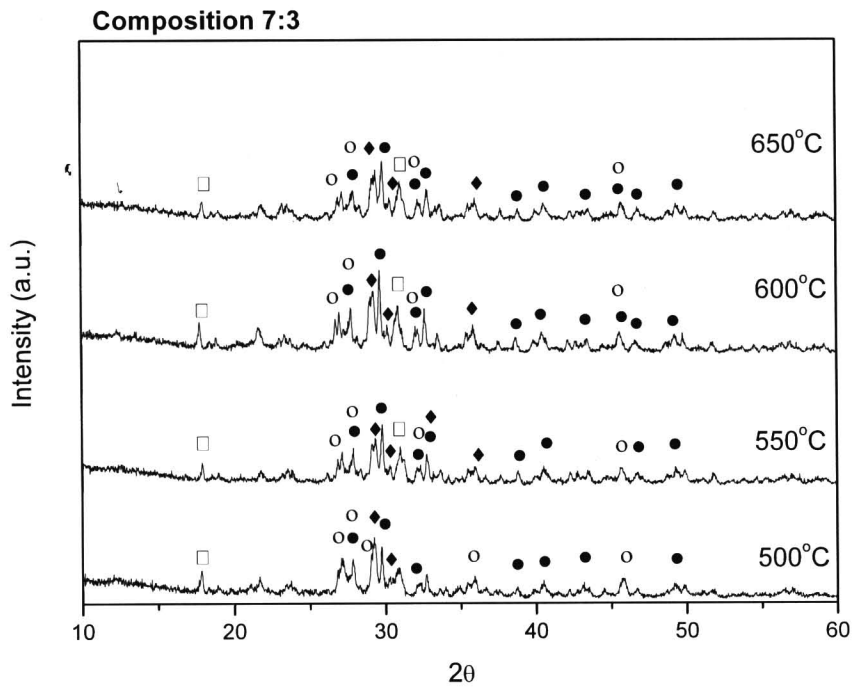
- $\beta\text{-Ca}_2\text{P}_2\text{O}_7$  files no. 03-0604
- $\text{Ca}_2\text{P}_2\text{O}_7$  files no. 73-0440
- ◆  $\text{NaPO}_3$  files no. 78-0788
- $\text{NaPO}_3$  files no. 11-0650



รูป 4.14 รูปแบบการเลี้ยวเบนของรังสีเอกซ์ของเม็ดสารแก้วเซรามิกแคลเซียมฟอสเฟต ที่มาจาก  
แก้วสูตร  $45\text{P}_2\text{O}_5\text{-}40\text{CaO}\text{-}15\text{Na}_2\text{O}$  อัตราส่วน 10:0

$45\text{P}_2\text{O}_5-40\text{CaO}-15\text{Na}_2\text{O}$

- $\beta\text{-Ca}_2\text{P}_2\text{O}_7$  files no. 03-0604
- $\text{Ca}_2\text{P}_2\text{O}_7$  files no. 73-0440
- ◆  $\text{NaPO}_3$  files no. 78-0788
- $\text{NaPO}_3$  files no. 11-0650



รูป 4.15 รูปแบบการเลี้ยวเบนของรังสีเอกซ์ของเม็ดสารแก้วเซรามิกแคลเซียมฟอสเฟต ที่มาจาก แก้วสูตร  $45\text{P}_2\text{O}_5-40\text{CaO}-19\text{Na}_2\text{O}$  อัตราส่วน 7:3

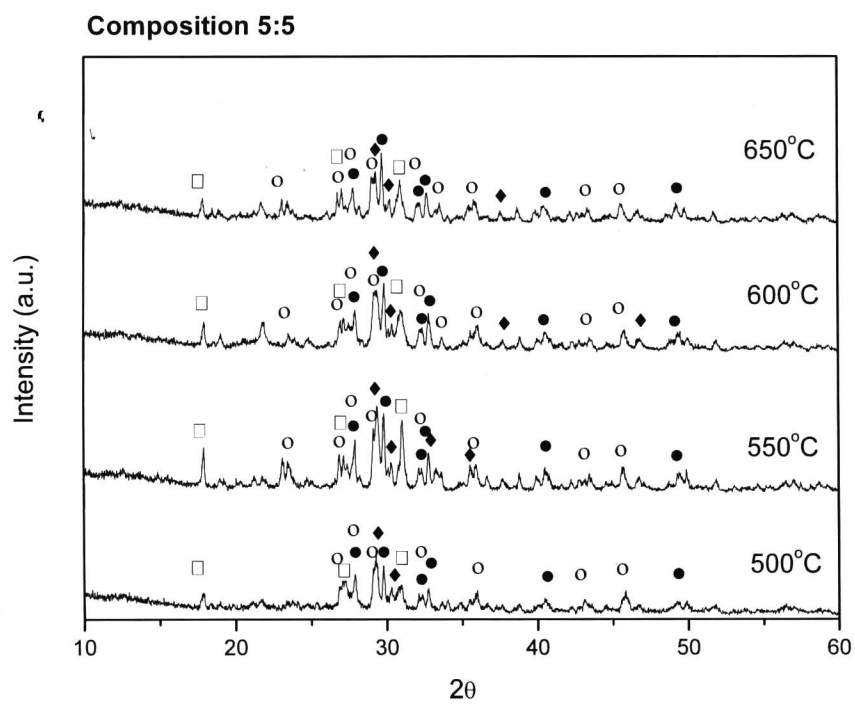
$45\text{P}_2\text{O}_5\text{-}40\text{CaO}\text{-}15\text{Na}_2\text{O}$

•  $\beta\text{-Ca}_2\text{P}_2\text{O}_7$  files no. 03-0604

○  $\text{Ca}_2\text{P}_2\text{O}_7$  files no. 73-0440

◆  $\text{NaPO}_3$  files no. 78-0788

□  $\text{NaPO}_3$  files no. 11-0650



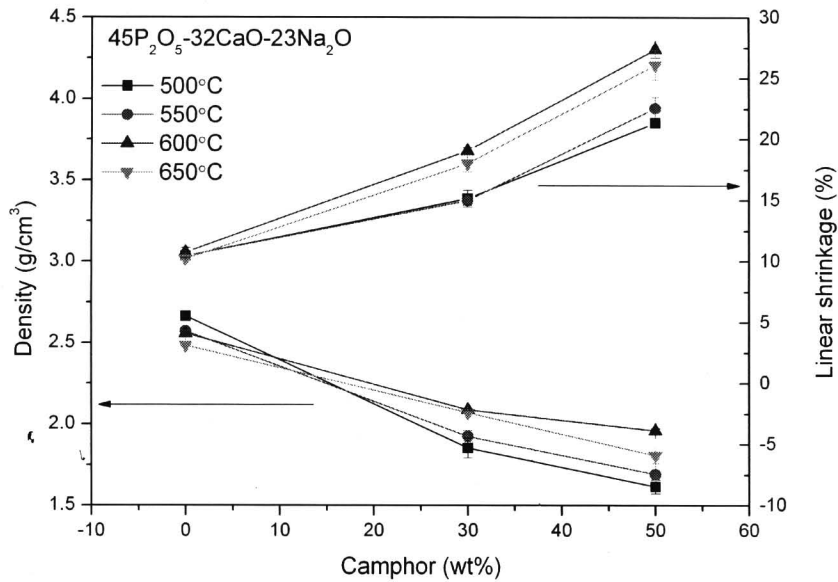
รูป 4.16 รูปแบบการเลี้ยวเบนของรังสีเอกซ์ของเม็ดสารแก้วเซรามิกแคลเซียมฟอสเฟต ที่มาจาก  
แก้วสูตร  $45\text{P}_2\text{O}_5\text{-}40\text{CaO}\text{-}15\text{Na}_2\text{O}$  อัตราส่วน 5:5

### 4.2.3 ผลการตรวจสอบลักษณะทางกายภาพ

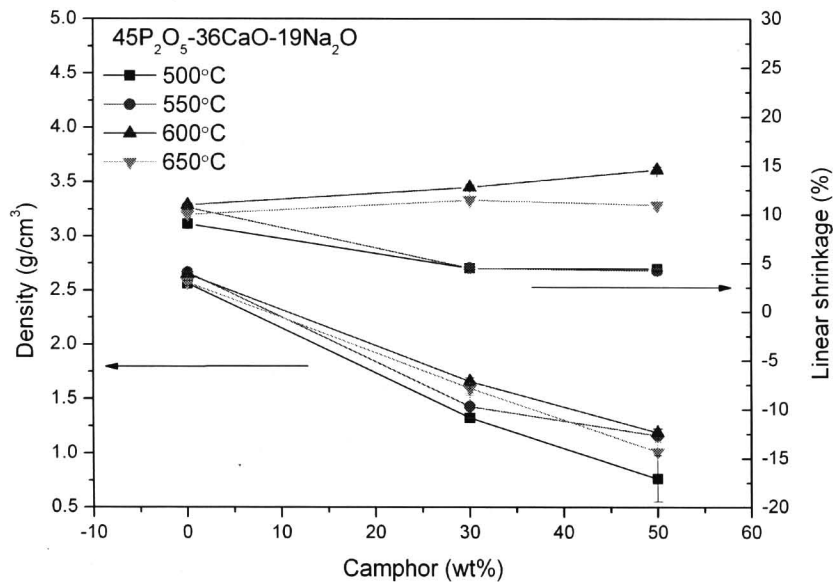
เม็ดสารเคลือบเซรามิกที่ผ่านการเผาที่อุณหภูมิต่างๆ จะนำมาตรวจสอบสมบัติทางกายภาพ ซึ่งประกอบด้วย ผลการตรวจสอบร้อยละการหดตัวเชิงเส้น (Linear shrinkage) ความหนาแน่น (Density) และ ร้อยละความพรุนที่ปรากฏ (Apparent porosity)

#### 4.2.3.1 ความสัมพันธ์ระหว่างความหนาแน่น (Density) และ การหดตัวเชิงเส้น (Linear shrinkage)

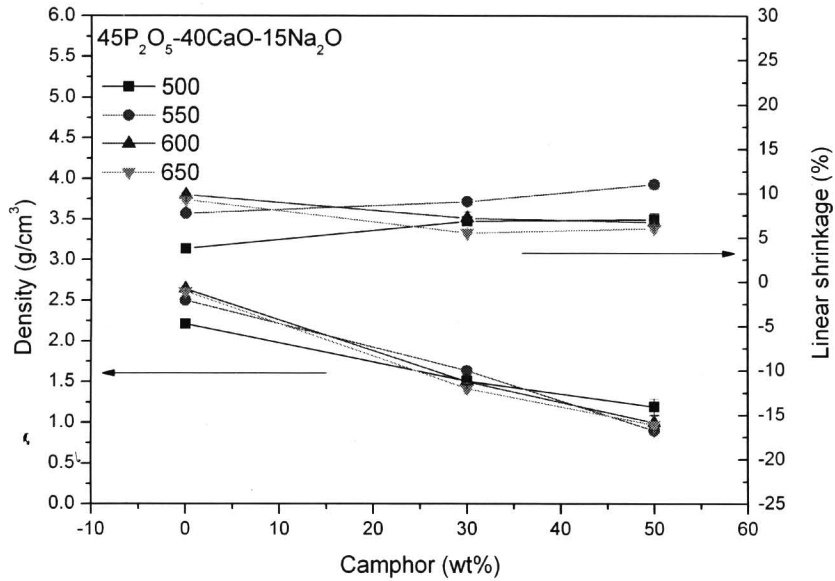
เมื่อปริมาตรของเม็ดสารแก้วเซรามิกก่อนการเผาเหมือนกัน ทั้งเม็ดสารที่มีการผสมและไม่ผสมการบูร เมื่อผ่านการเผาที่อุณหภูมิเดียวกัน ปริมาตรของแก้วที่อยู่ในเม็ดสารมีผลต่อการหดตัวเชิงเส้นและความหนาแน่นของเม็ดสารแก้วเซรามิก ดังรูป 4.17-4.19 จะพบว่า เม็ดสารเซรามิกจะมีการหดตัวเชิงเส้นมากขึ้นเมื่อปริมาตรของแก้วมีน้อยลง ซึ่งสอดคล้องกับความหนาแน่นที่เพิ่มขึ้น แต่สำหรับการหดตัวเชิงเส้นของอัตราส่วน 10:0 ของแก้วสูตร  $45\text{P}_2\text{O}_5-36\text{CaO}-19\text{Na}_2\text{O}$  และ  $45\text{P}_2\text{O}_5-40\text{CaO}-15\text{Na}_2\text{O}$  จะมีแนวโน้มแตกต่างจากผลวิเคราะห์เบื้องต้น เพราะมีการหดตัวเชิงเส้นมากกว่าอัตราส่วนที่มีปริมาตรแก้วน้อยกว่า และเมื่อพิจารณาเฉพาะการหดตัวเชิงเส้นของเม็ดสารในอัตราส่วน 10:0 ของทุกสูตร ดังรูป 4.20 จะพบว่าการหดตัวเชิงเส้นของเม็ดสารแก้วเซรามิกทั้ง 3 สูตรจะเป็นไปในทิศทางเดียวกัน คือ การหดตัวเพิ่มขึ้นเมื่อเผาที่อุณหภูมิสูงขึ้น จาก 500 – 600 °C และเกิดการขยายตัวเมื่อเผาที่ต่อไปถึง 650 °C ดังนั้นที่อัตราส่วนของแก้วเนื้อแน่นไม่มีการผสมการบูร พบว่า อุณหภูมิเผาก็มีผลต่อการหดตัว



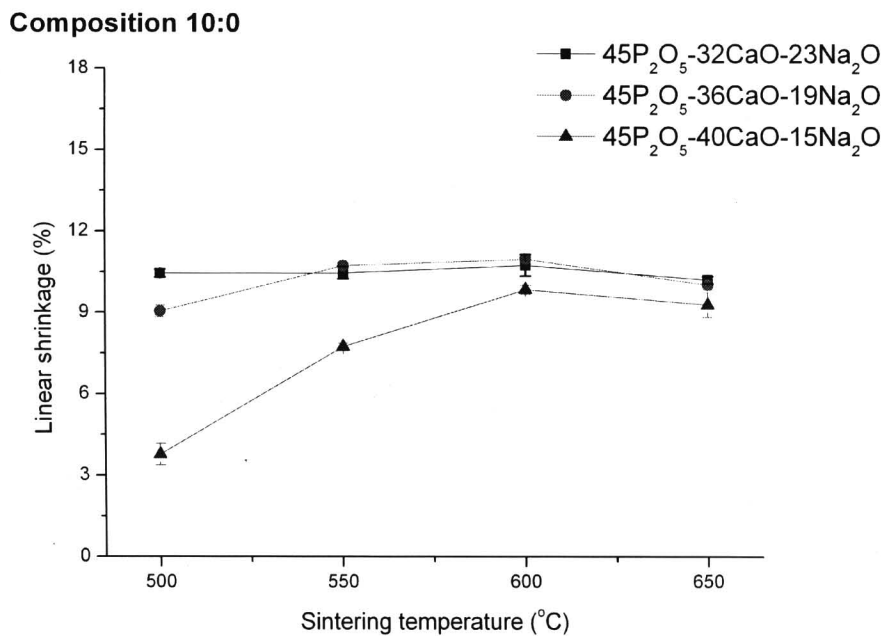
รูป 4.17 ความหนาแน่น (Density) และการหดตัวเชิงเส้น (Linear shrinkage) ของเม็ดสารแก้ว เซรามิกแคลเซียมฟอสเฟต จากแก้วสูตร  $45\text{P}_2\text{O}_5-32\text{CaO}-23\text{Na}_2\text{O}$  ที่เผาขึ้นที่อุณหภูมิ  $500-650^\circ\text{C}$



รูป 4.18 ความหนาแน่น (Density) และการหดตัวเชิงเส้น (Linear shrinkage) ของเม็ดสารแก้ว เซรามิกแคลเซียมฟอสเฟต จากแก้วสูตร  $45\text{P}_2\text{O}_5-36\text{CaO}-19\text{Na}_2\text{O}$  ที่เผาขึ้นที่อุณหภูมิ  $500-650^\circ\text{C}$



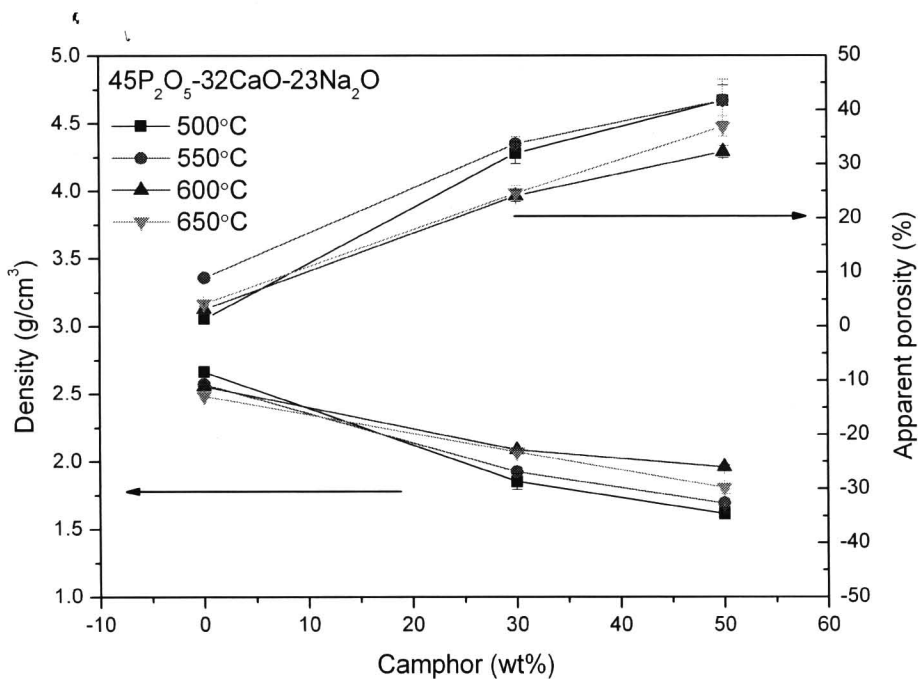
รูป 4.19 ความหนาแน่น (Density) และการหดตัวเชิงเส้น (Linear shrinkage) ของเม็ดสารแก้วเซรามิกแคลเซียมฟอสเฟต จากแก้วสูตร  $45\text{P}_2\text{O}_5-40\text{CaO}-15\text{Na}_2\text{O}$  ที่เผาที่อุณหภูมิ  $500-650^\circ\text{C}$



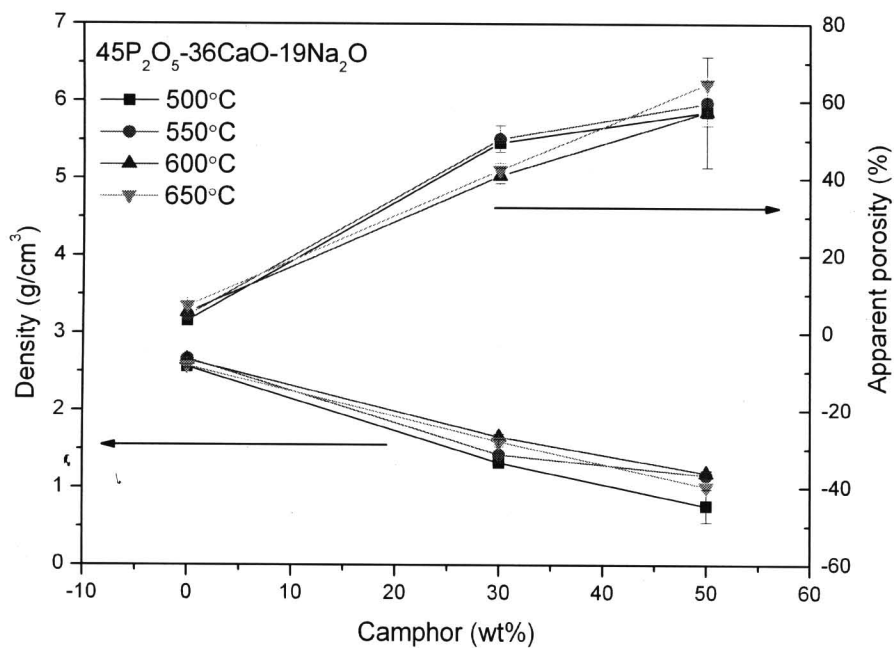
รูป 4.20 การหดตัวเชิงเส้น (Linear shrinkage) ของเม็ดสารแก้วเซรามิกแคลเซียมฟอสเฟตที่มีรูพรุนที่อัตราส่วน 10:0 ของแก้วระบบ  $\text{P}_2\text{O}_5-\text{CaO}-\text{Na}_2\text{O}$

#### 4.2.3.2 ความสัมพันธ์ระหว่างความหนาแน่น (Density) และ ความพรุนที่ปรากฏ (apparent porosity)

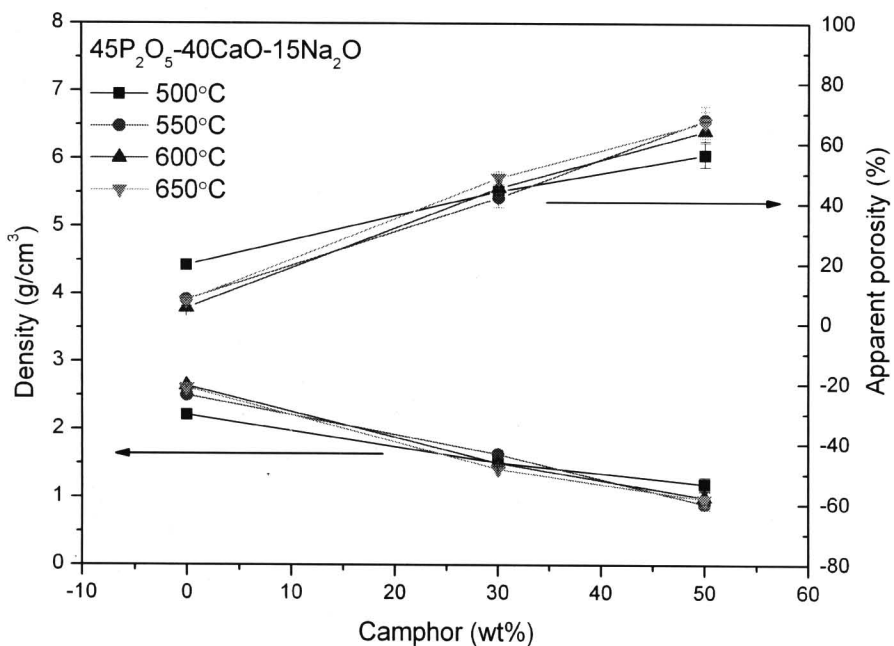
ปริมาณของการบวมมีผลต่อความพรุนที่ปรากฏและความหนาแน่นของเม็ดสารแก้วเซรามิก จะเห็นได้จากรูป 4.21-4.23 พบว่าความพรุนจะเพิ่มขึ้นเมื่อเพิ่มปริมาณการบวม ในขณะที่ความหนาแน่นจะลดลง เพราะ ปริมาณการบวมเพิ่มขึ้นในอัตราส่วนต่างๆในเม็ดสารที่มีปริมาตรเท่ากัน เมื่อผ่านการเผาผนึกการบวมก็จะระเหยออก พื้นที่ที่เคยมีอยู่ของการบวมก็จะกลายเป็นรูพรุน ดังนั้น เมื่อมีปริมาณการบวมมาก รูพรุนที่ปรากฏก็จะมากตามไปด้วย ในขณะที่ความหนาแน่นของเม็ดสารแก้วเซรามิกจะลดลง



รูป 4.21 ความหนาแน่น (Density) และความพรุนที่ปรากฏ (apparent porosity) ของเม็ดสารแก้วเซรามิกแคลเซียมฟอสเฟตที่มีรูพรุน จากแก้วสูตร  $45\text{P}_2\text{O}_5-32\text{CaO}-23\text{Na}_2\text{O}$



รูป 4.22 ความหนาแน่น (Density) และความพรุนที่ปรากฏ (apparent porosity) ของเม็ดสารแก้ว เซรามิกแคลเซียมฟอสเฟตที่มีรูพรุน จากแก้วสูตร 45P<sub>2</sub>O<sub>5</sub>-36CaO-19Na<sub>2</sub>O

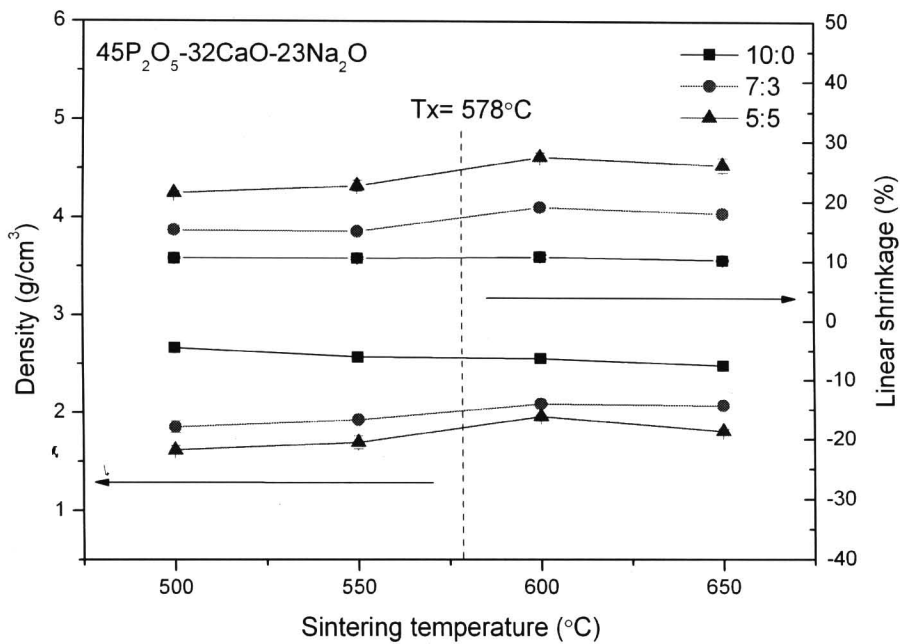


รูป 4.23 ความหนาแน่น (Density) และความพรุนที่ปรากฏ (apparent porosity) ของเม็ดสารแก้ว เซรามิกแคลเซียมฟอสเฟตที่มีรูพรุน จากแก้วสูตร 45P<sub>2</sub>O<sub>5</sub>-40CaO-15Na<sub>2</sub>O

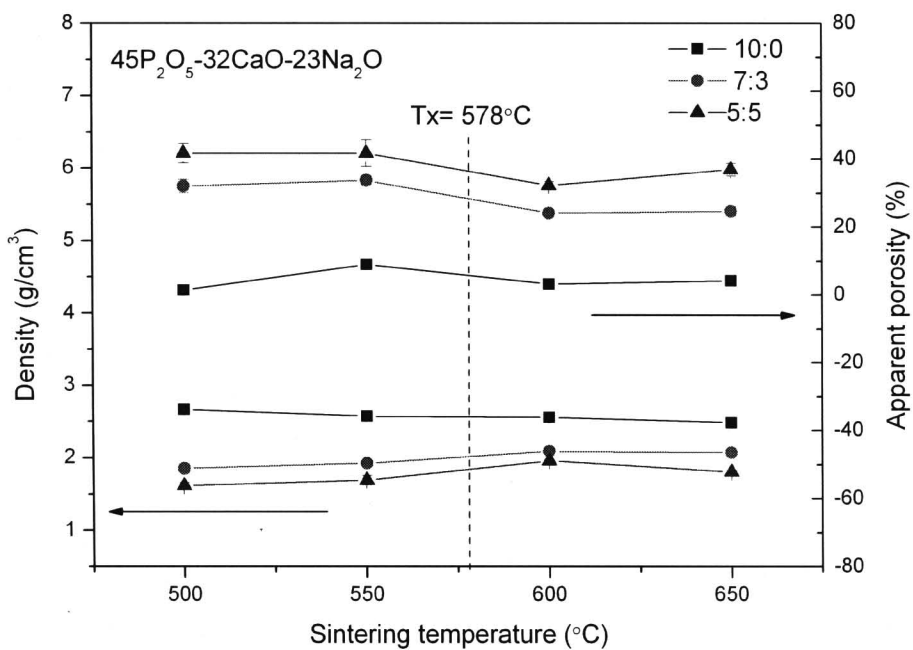
#### 4.2.3.2 ความสัมพันธ์ระหว่างความหนาแน่น (Density) การหดตัวเชิงเส้น (Linear shrinkage) และ ความพรุนที่ปรากฏ (apparent porosity)

เมื่อพิจารณาความสัมพันธ์ระหว่างความหนาแน่น ร่วมกับการหดตัวเชิงเส้นและความพรุนที่ปรากฏ จะพบว่าเม็ดสารแก้วเซรามิกโดยรวม ที่เผาในช่วงอุณหภูมิ  $T_x$  ขึ้นไปจะมีความหนาแน่นลดลง การหดตัวเชิงเส้นลดลง (ขยายตัว) และ มีความพรุนที่ปรากฏมากขึ้น

จากการศึกษาของ Tulyaganov ที่กล่าวถึงการเกิดเฟสของสารมากกว่าหนึ่งเฟส ณ ตำแหน่ง  $T_x$  นั้น จะทำให้ผลต่อสมบัติทางกายภาพดังนี้ คือ ความหนาแน่นลดลง การหดตัวเชิงเส้นลดลง (ขยายตัว) และ เกิดช่องว่างที่สามารถมองเห็นได้ชัดอยู่ภายใต้พื้นผิว (visible bubbles underneath) หรือ รูพรุนขนาดเล็ก (micropores) ขึ้น [29] ซึ่งสอดคล้องกับงานวิจัยนี้ ดังพิจารณาจากรูป 4.24-4.26 พบว่า ความหนาแน่นของเม็ดสารเซรามิกจะมีแนวโน้มเพิ่มสูงขึ้นเมื่ออุณหภูมิเผาผิวกสูงขึ้น ซึ่ง Tulyaganov ได้ให้เหตุผลไว้ว่า ในช่วงก่อน  $T_x$  เม็ดสารเซรามิกจะมีความหนาแน่นเพิ่ม จากกระบวนการเผาผิวกของสารจำพวกแก้วที่เรียกว่า viscous flow sintering จะมีผลทำให้การหดตัวเพิ่มขึ้น ในขณะที่รูพรุนก็จะลดลง แต่กระบวนการนี้จะหยุดลงเมื่อแก้วที่เป็นสารอสัณฐานเกิดผลึกขึ้นที่อุณหภูมิใกล้เคียงกับ  $T_x$  และเมื่อเริ่มมีการเกิดเฟสภายในเม็ดสาร การเกิดเฟสหลายเฟสที่มีความหนาแน่นของผลึกแตกต่างกันสูงที่อุณหภูมิใกล้เคียงกัน หรือการเกิดเฟสที่มีความหนาแน่นสูงหลังจากการเกิดเฟสที่มีความหนาแน่นต่ำกว่า จะทำให้เกิด intergranular spaces ของผลึกในแก้วเซรามิก นั่นคือเกิดรูพรุนขนาดเล็ก (micropore) ขึ้น แต่รูพรุนที่เกิดขึ้นนี้หากศึกษาการเกิดเฟสในชิ้นงานแก้ว (bulk glass) จะมีขนาดใหญ่ แต่ถ้าเป็นการศึกษาการเกิดเฟสในเม็ดสารแก้วเซรามิก (glass powder compact) ขนาดของรูพรุนที่ได้จะลดลง แต่ถ้าเป็นการเกิดเฟสของสารที่มีความหนาแน่นต่างกันไม่มากนัก ปรากฏการณ์นี้ก็จะไม่เกิดขึ้น เมื่อนำผลการวิจัยของ Tulyaganov มาอธิบายปรากฏการณ์ที่เกิดขึ้นในเม็ดสารเซรามิกที่ได้จากงานวิจัยนี้ ก็พบว่ามีการทดลองที่สอดคล้องกัน เพราะ มีการเกิดเฟสของแคลเซียมฟอสเฟต ร่วมกับโซเดียมฟอสเฟต ซึ่งมีความหนาแน่นเท่ากับ  $2.936 \text{ g/cm}^3$  ในแคลเซียมฟอสเฟต หมายเลข 73-0440 และ  $2.669 \text{ g/cm}^3$  กับ  $2.580 \text{ g/cm}^3$  ในโซเดียมฟอสเฟต หมายเลข 11-0650 และ 76-0788 ตามลำดับ และสอดคล้องกับผลการศึกษาสมบัติทางกายภาพ คือ ความหนาแน่นลดลง การหดตัวเชิงเส้นลดลง แต่สำหรับความพรุนที่เพิ่มขึ้นนั้น ไม่สามารถสรุปได้แน่ชัดว่าเกิดจากช่องว่างที่สามารถมองเห็นได้ชัดอยู่ภายใต้พื้นผิว (visible bubbles underneath) หรือรูพรุนขนาดเล็ก เพราะความพรุนที่ศึกษา เป็นการศึกษาความพรุนที่ปรากฏ ซึ่งจะไม่สามารถตรวจสอบรูพรุนปิดภายในเม็ดสารแก้วเซรามิกได้ จึงต้องมีการศึกษาโครงสร้างทางจุลภาคร่วมด้วย

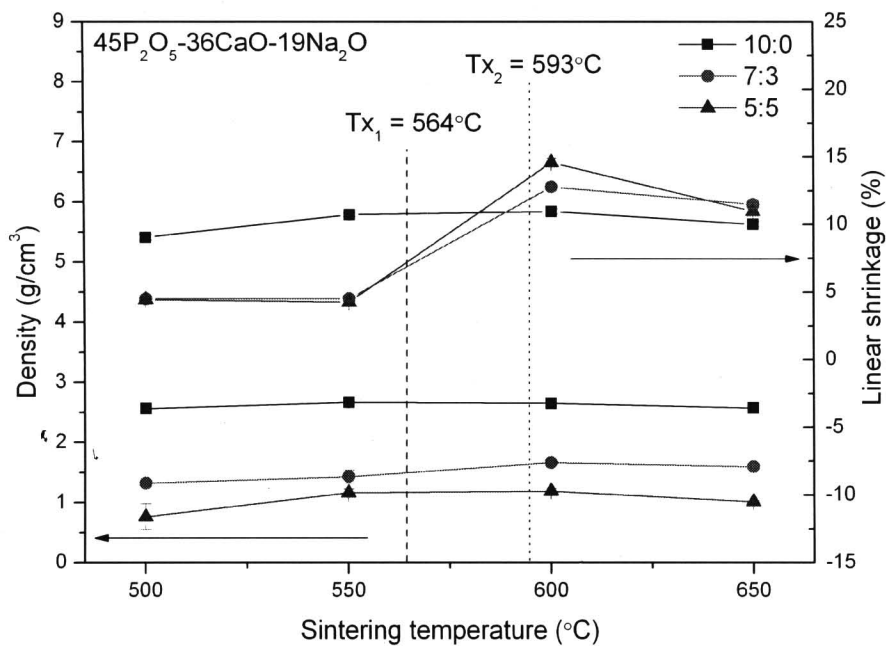


(ก)

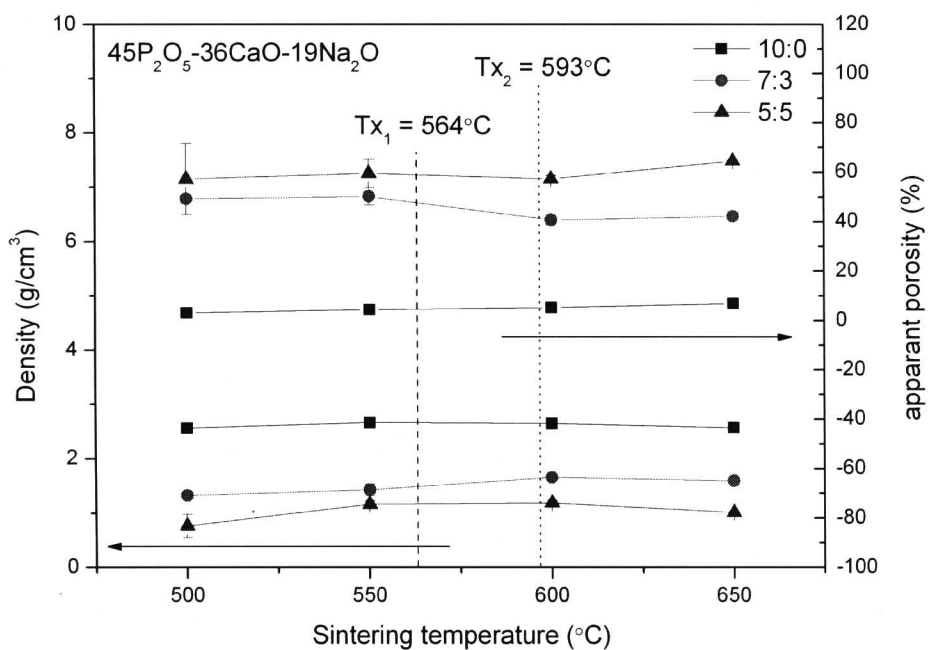


(ข)

รูป 4.24 ความสัมพันธ์ระหว่าง (ก) ความหนาแน่นกับการหดตัว และ (ข) ความหนาแน่นกับความพรุนที่ปรากฏ ของเม็ดสารแก้วเซรามิก จาก แก้วสูตร 45P<sub>2</sub>O<sub>5</sub>-32CaO-23Na<sub>2</sub>O

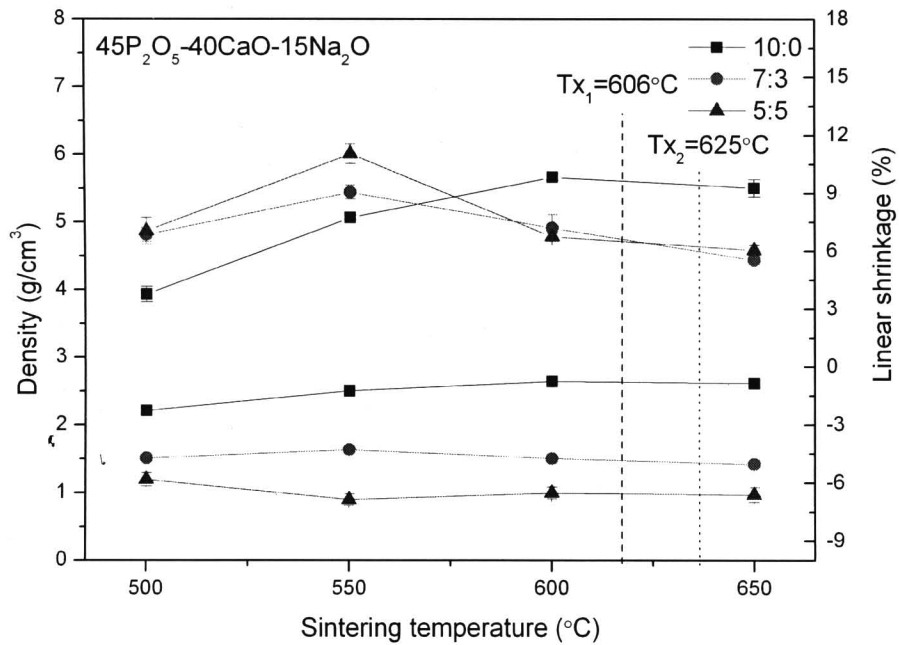


(ก)

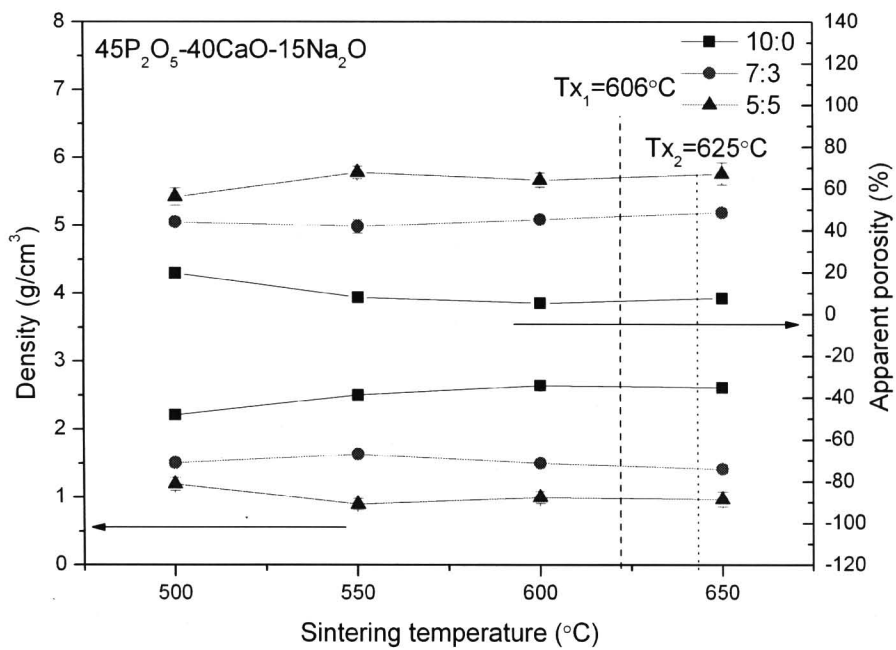


(ข)

รูป 4.25 ความสัมพันธ์ระหว่าง (ก) ความหนาแน่นกับการหดตัว และ (ข) ความหนาแน่นกับความพรุนที่ปรากฏ ของเม็ดสารแก้วเซรามิก จาก แก้วสูตร 45P<sub>2</sub>O<sub>5</sub>-36CaO-19Na<sub>2</sub>O



(ก)



(ข)

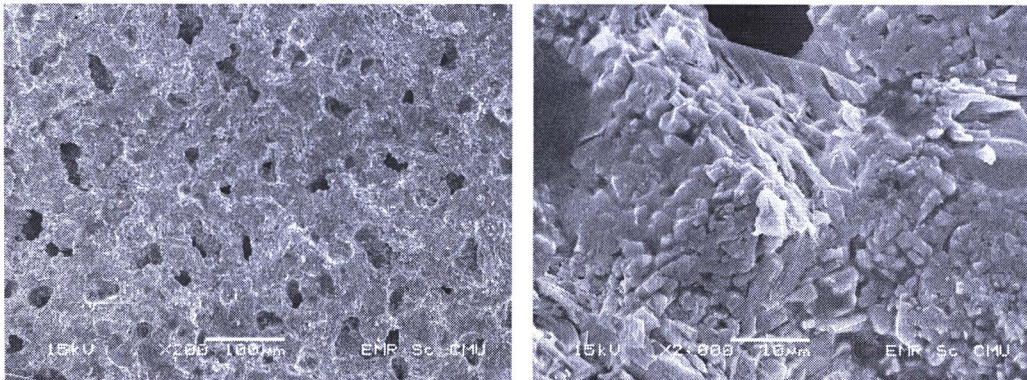
รูป 4.24 ความสัมพันธ์ระหว่าง (ก) ความหนาแน่นกับการหดตัว และ (ข) ความหนาแน่นกับความพรุนที่ปรากฏ ของเม็ดยาเคลือบเซรามิก จาก แก้วสูตร  $45\text{P}_2\text{O}_5-40\text{CaO}-15\text{Na}_2\text{O}$

#### 4.2.3.3 ผลการศึกษาโครงสร้างจุลภาคของเซรามิกแคลเซียมฟอสเฟต ด้วยเทคนิค SEM

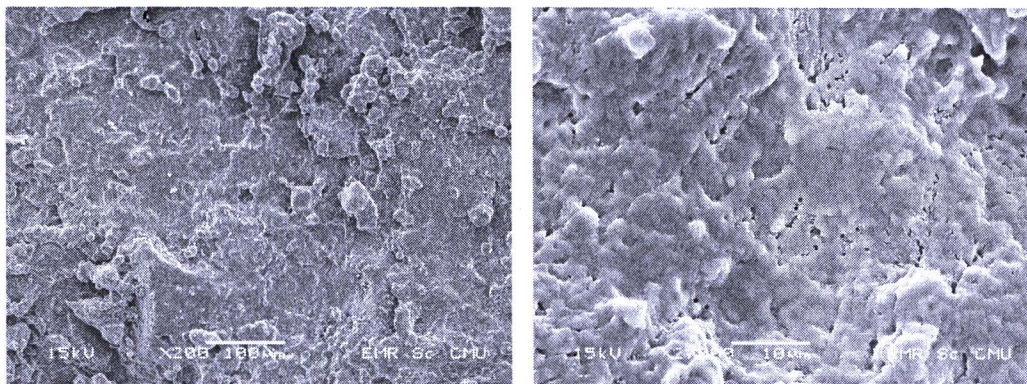
ที่ได้กล่าวไว้ข้างต้นว่า การเกิดเฟสของสารหลายชนิด ในอุณหภูมิใกล้เคียงกันและมีความหนาแน่นที่แตกต่างกันอย่างมากระหว่างกัน จะทำให้เกิดช่องว่างที่สามารถมองเห็นได้ชัดอยู่ภายใต้พื้นผิว (visible bubbles underneath) แต่ความพรุนที่ใช้ในการวิเคราะห์เป็นการศึกษาความพรุนที่ปรากฏ ซึ่งจะไม่ตรวจสอบรูพรุนปิด ภายในเม็ดสารแก้วเซรามิกได้ จึงต้องมีการศึกษาโครงสร้างจุลภาค ร่วมกับการวิเคราะห์สมบัติทางกายภาพด้วย

จากการศึกษาโครงสร้างจุลภาคด้วยเทคนิค SEM ดังรูป 4.25 ก็พบว่า มีช่องว่างที่สามารถมองเห็นได้ชัดอยู่ภายใต้พื้นผิว (visible bubbles underneath) เกิดขึ้น และ เกิด ได้ดีที่เม็ดสารที่มาจาก แก้วสูตร  $45P_2O_5-32CaO-23Na_2O$  ซึ่งสัมพันธ์กับการศึกษาของ Tulyaganov เพราะแก้วสูตรนี้จะเกิด ทั้งเฟสแคลเซียมฟอสเฟตและโซเดียมฟอสเฟตที่  $T_x$  เดียวกันคือ  $578^\circ C$  ในขณะที่เม็ดสารที่มาจาก แก้วอีก 2 สูตร จะมีอุณหภูมิ  $T_x$  ของเฟสทั้งสองแตกต่างกันชัดเจน แต่ก็มีช่องว่างที่สามารถมองเห็นได้ชัดอยู่ภายใต้พื้นผิว (visible bubbles underneath) เมื่อใช้กำลังขยายของกล้องกำลังขยาย 2000x เพราะ ถึงแม้จะไม่ได้เกิดที่ตำแหน่งอุณหภูมิเดียวกัน แต่เป็นการเกิดเฟสที่มีความหนาแน่นสูงกว่า หลังจากการเกิดเฟสที่มีความหนาแน่นต่ำกว่า ช่องว่างที่สามารถมองเห็นได้ชัดอยู่ภายใต้พื้นผิว (visible bubbles underneath) หรือรูพรุนขนาดเล็ก จึงเกิดขึ้นเช่นเดียวกัน แต่เกิดในปริมาณที่น้อยกว่า

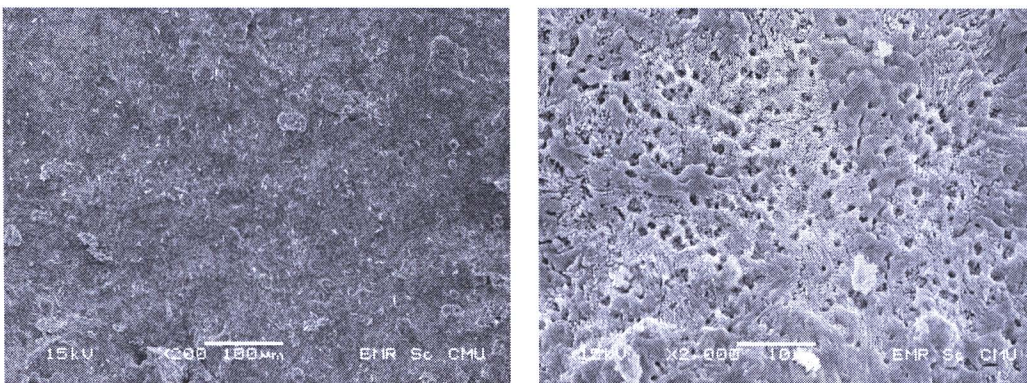
แต่เมื่อพิจารณากราฟความพรุนที่ปรากฏ จากรูปที่ 4.26 จะพบว่าความพรุนมีค่าสูงขึ้น เมื่อเม็ดสารเซรามิกมาจากแก้วสูตรที่มี CaO สูงขึ้น แต่ความพรุนที่ปรากฏ จะเป็นการศึกษาความพรุนจากรูพรุนเปิดเท่านั้น ดังนั้นควรจะต้องมีการศึกษารูพรุนปิดเพิ่มเติมเพื่อให้ได้ผลการทดลองที่แน่ชัด



(ก)

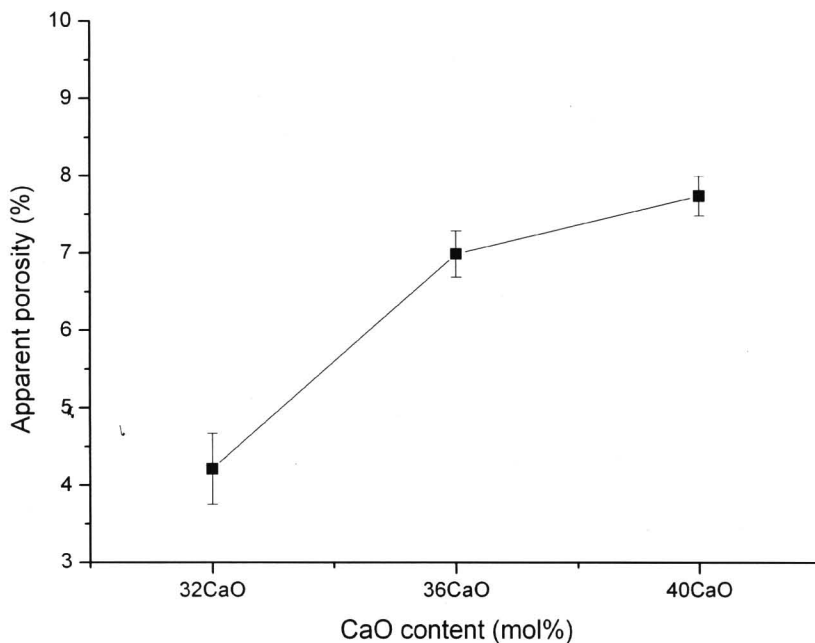


(ข)



(ค)

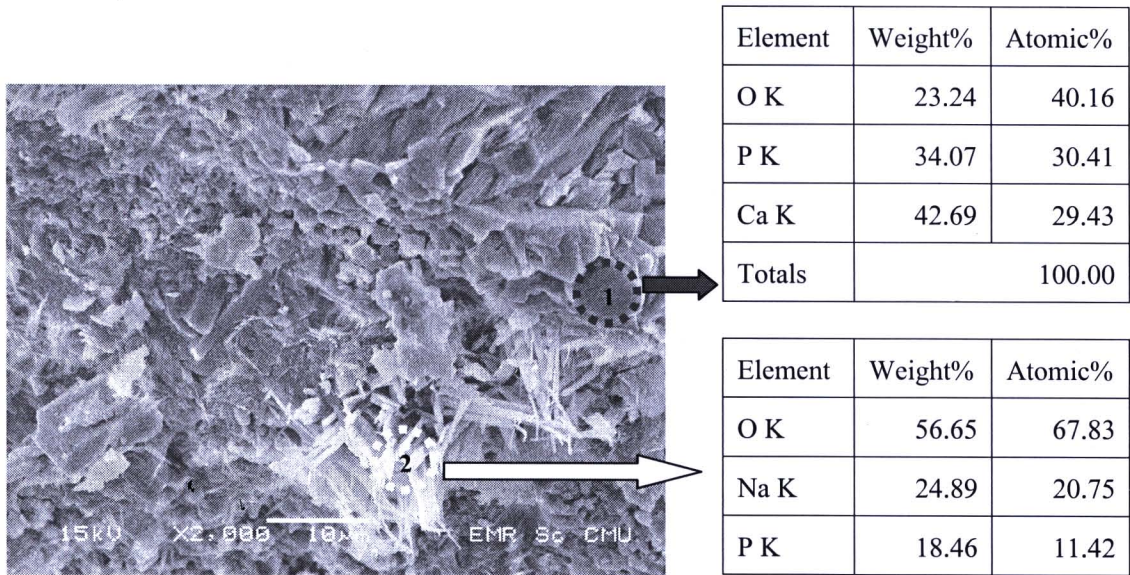
รูป 4.25 ช่องว่างที่สามารถมองเห็นได้ชัดอยู่ภายใต้พื้นผิว (visible bubbles underneath) ของเม็ดยาน  
 ที่มาจากแก้วสูตร (ก)  $45\text{P}_2\text{O}_5\text{-}32\text{CaO-}23\text{Na}_2\text{O}$  (ข)  $45\text{P}_2\text{O}_5\text{-}32\text{CaO-}23\text{Na}_2\text{O}$  และ  
 (ค)  $45\text{P}_2\text{O}_5\text{-}32\text{CaO-}23\text{Na}_2\text{O}$  ที่อุณหภูมิเผาผนึก  $650^\circ\text{C}$  อัตราส่วน 10:0



รูป 4.26 แสดงร้อยละความพรุนที่ปรากฏของเม็ดสารเซรามิกแคลเซียมฟอสเฟต ที่เผาผนึกที่อุณหภูมิ  $650^{\circ}\text{C}$  ที่มาจากแก้วสูตรที่มี CaO ต่างกัน ในอัตราส่วน 10:0

#### 4.2.4 ผลการศึกษาโครงสร้างจุลภาคของเฟสองค์ประกอบเม็ดสารเซรามิกแคลเซียมฟอสเฟตที่มีรูพรุน ด้วยเทคนิค SEM

จากการวิเคราะห์เฟสองค์ประกอบของเม็ดสารแก้วเซรามิกแคลเซียมฟอสเฟตที่มีรูพรุน ด้วยเทคนิค XRD จะพบว่าเม็ดสารแก้วเซรามิกทั้งหมดจะให้เฟส ทั้งหมด 4 เฟส จากผลึกของสาร 2 กลุ่ม คือ แคลเซียมฟอสเฟต และ โซเดียมฟอสเฟต ซึ่งจะพบแคลเซียมฟอสเฟต  $\beta\text{-Ca}_2\text{P}_2\text{O}_7$  ตรงกับข้อมูล JCPDS หมายเลข 03-0604 และ  $\text{Ca}_2\text{P}_2\text{O}_7$  ตรงกับข้อมูล JCPDS หมายเลข 73-0440 และพบโซเดียมฟอสเฟต  $\text{NaPO}_3$  ตรงกับข้อมูล JCPDS หมายเลข 76-0788 และ  $\text{NaPO}_3$  ตรงกับข้อมูล JCPDS หมายเลข 11-0650 ในการวิเคราะห์โครงสร้างจุลภาคของเฟสองค์ประกอบได้ยกตัวอย่างโครงสร้างจุลภาคของเม็ดสาร A3-650 หรือ เม็ดสารที่มาจากแก้วสูตร  $45\text{P}_2\text{O}_5\text{-}32\text{CaO}\text{-}23\text{Na}_2\text{O}$  ผสมการบูรในอัตราส่วน 5:5 เผาที่อุณหภูมิ  $650^{\circ}\text{C}$  ซึ่งเป็นการศึกษาโครงสร้างจุลภาคด้วยเทคนิค SEM ประกอบกับการศึกษาธาตุองค์ประกอบของผลึกด้วยเทคนิค EDS บนพื้นผิวรอยหัก (fracture surface) ดังรูป 4.27



รูป 4. 27 การวิเคราะห์ EDS บนพื้นผิวรอยหัก (fracture surface) ชิ้นงานแก้วเซรามิกแคลเซียมฟอสเฟตที่มีรูพรุน A3-650 เมื่อ (1) คือ แคลเซียมฟอสเฟต และ (2) คือ โซเดียมฟอสเฟต

จากการศึกษาองค์ประกอบด้วยเทคนิค EDS พบว่าสามารถทำการตรวจสอบเฟสของธาตุที่มีรูปร่างแตกต่างกันอย่างชัดเจน คือ แคลเซียมฟอสเฟตได้ที่ตำแหน่ง 1 จะพบ Ca P และ O ในปริมาณร้อยละ 42.9 34.07 และ 23.24 จะมีรูปร่างในลักษณะรูปทรงเรขาคณิต และ โซเดียมฟอสเฟตได้ที่ตำแหน่งที่ 2 จะพบ Na P และ O ในปริมาณร้อยละ 24.89 18.46 และ 56.65 โดยน้ำหนัก จะมีรูปร่างแบบเข็ม ดังรูป 4.27

#### 4.2.5 ผลการศึกษาโครงสร้างจุลภาคของรูพรุนเม็ดสารแก้วเซรามิกแคลเซียมฟอสเฟตที่มีรูพรุนด้วยเทคนิค SEM

จากการวิเคราะห์โครงสร้างจุลภาคของรูพรุนในเม็ดสารแก้วเซรามิกในอัตราส่วน 10:0 จะพบว่ามีช่องว่างที่สามารถมองเห็นได้ชัดอยู่ภายใต้พื้นผิว (visible bubbles underneath) เกิดขึ้น ดังนั้นในเม็ดสารที่ผสมการบรก่อนการเผาผนึกก็จะมีรูพรุนขนาดใหญ่ (macropores) ที่เกิดจากการบร และ จะมีความพรุนตัวเกิดขึ้นเนื่องจากช่องว่างที่สามารถมองเห็นได้ชัดอยู่ภายใต้พื้นผิว (visible bubbles underneath)

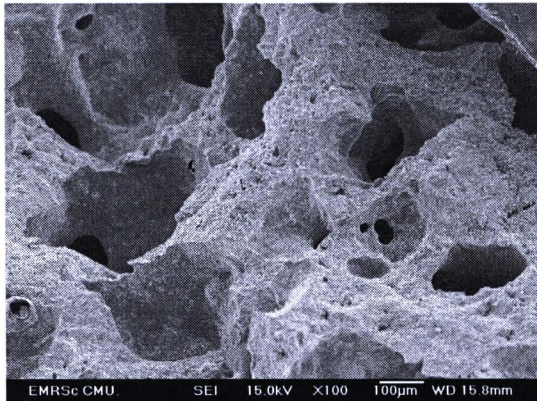
รูพรุนขนาดใหญ่ (macropores) ที่เกิดในเม็ดสารที่ผสมการบรก่อนการเผาผนึก จะเกิดจากการระเหยออกของการบร เหลือเป็นช่องว่างภายในเม็ดสาร จากการสังเกตลักษณะของรูพรุน จากรูป 4.28-4.33 จะพบว่า เม็ดสารแก้วเซรามิกทุกอัตราส่วนที่เผาที่อุณหภูมิ 500 °C เม็ดสารแก้วเซรามิกที่อัตราส่วน 5:5 ที่มาจากแก้วสูตร 45P<sub>2</sub>O<sub>5</sub>-40CaO-15 Na<sub>2</sub>O และ เม็ดสารแก้วเซรามิกอัตราส่วน 5:5 ที่มาจากแก้วสูตร 45P<sub>2</sub>O<sub>5</sub>-36CaO-19Na<sub>2</sub>O เผาผนึกที่ 550°C ไม่เหมาะสมสำหรับการประยุกต์ใช้ เพราะจะมีลักษณะของเนื้อเซรามิกที่เปราะ คือ เม็ดสาร A2-500 B2-500 C2-500 A3-500 B3-500 C3-500 C3-550 C3-600 C3-650 และ B3-550

จากการคำนวณเส้นผ่านศูนย์กลางเฉลี่ยของรูพรุนขนาดใหญ่ (macropore) จะพบว่ารูพรุนมีเส้นผ่านศูนย์กลางอยู่ในช่วง 150-400 μm ซึ่งเป็นรูพรุนที่เหมาะสมสำหรับกระบวนการสร้างเนื้อเยื่อกระดูก และการเจริญเติบโตของเซลล์กระดูก ดังนั้น รูพรุนที่สร้างขึ้นวิธีการนี้จะให้ขนาดของรูพรุนที่เหมาะสมสำหรับการประยุกต์ใช้จริง นอกจากนี้เม็ดสารแก้วเซรามิกจะมีช่องว่างที่สามารถมองเห็นได้ชัดอยู่ภายใต้พื้นผิว (visible bubbles underneath) ทำให้เม็ดสารแก้วเซรามิกมีความพรุนตัว และจากการศึกษาขนาดเส้นผ่านศูนย์กลางของรูพรุน จะพบว่าขนาดของรูพรุนจะสอดคล้องกับการหดตัวของเม็ดสารแก้วเซรามิก ดังรูป 4.34-4.36 โดยที่เม็ดสารที่หดตัวมาก นั้นหมายความว่ารูพรุนภายในก็จะเกิดการหดตัวด้วย ขนาดของรูพรุนก็จะลดลงนั่นเอง ในขณะที่เมื่อมีการขยายตัวของเม็ดสาร รูพรุนก็จะขยายตัวด้วยเช่นกัน

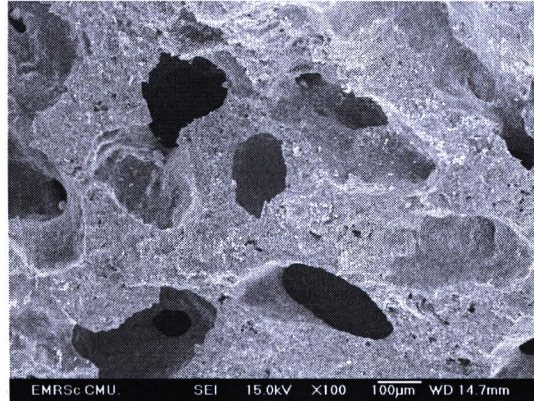
## Composition 7:3

●  $45\text{P}_2\text{O}_5\text{-}32\text{CaO}\text{-}23\text{Na}_2\text{O}$ 

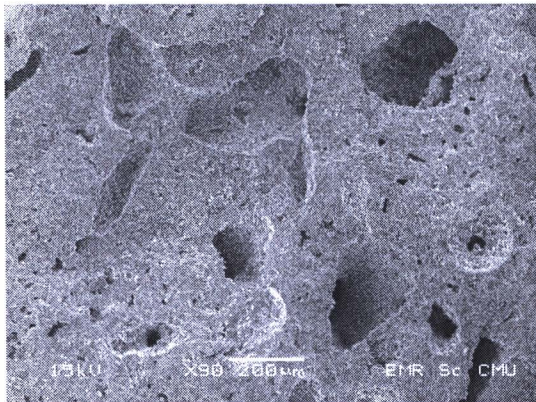
500°C (100x)

(A2-500) =  $227.310 \pm 72.062 \mu\text{m}$ 

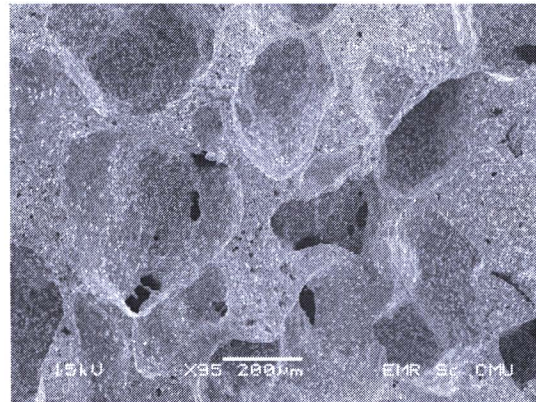
550°C (100x)

(A2-550) =  $239.803 \pm 65.956 \mu\text{m}$ 

600°C (90x)

(A2-600) =  $217.340 \pm 64.523 \mu\text{m}$ 

650°C (95x)

(A2-650) =  $325.646 \pm 111.719 \mu\text{m}$ 

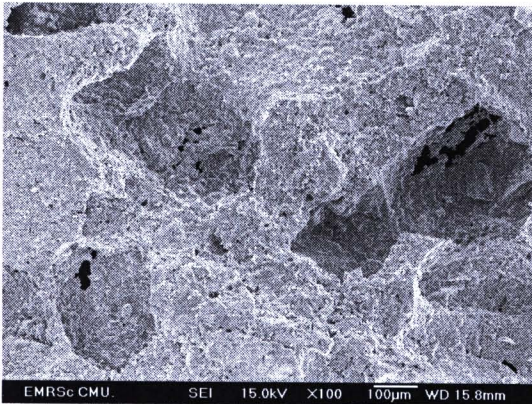
รูป 4.28 แสดงลักษณะของรูพรุนขนาดใหญ่และขนาดเล็ก ของเม็ดสารแก้วเซรามิกในอัตราส่วน 7:3 เเผาที่อุณหภูมิ 500-650°C จาก แก้วสูตร  $45\text{P}_2\text{O}_5\text{-}32\text{CaO}\text{-}23\text{Na}_2\text{O}$

## Composition 7:3

● 45P<sub>2</sub>O<sub>5</sub>-36CaO-19Na<sub>2</sub>O

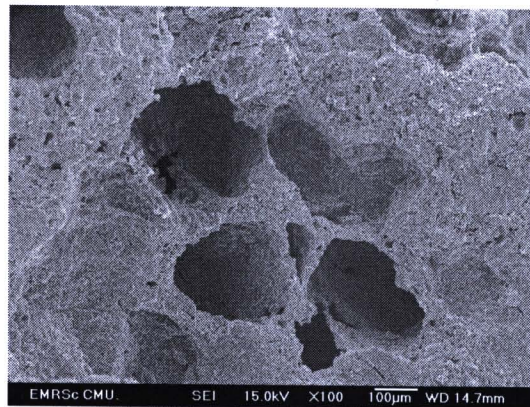
500°C (100x)

(B2-500) = 297.136 ± 60.250 μm



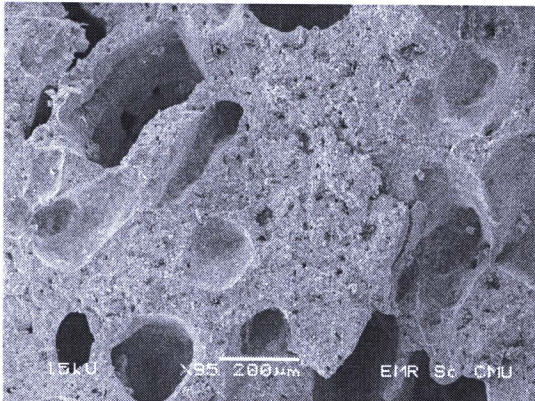
550°C (100x)

(B2-550) = 244.723 ± 66.119 μm



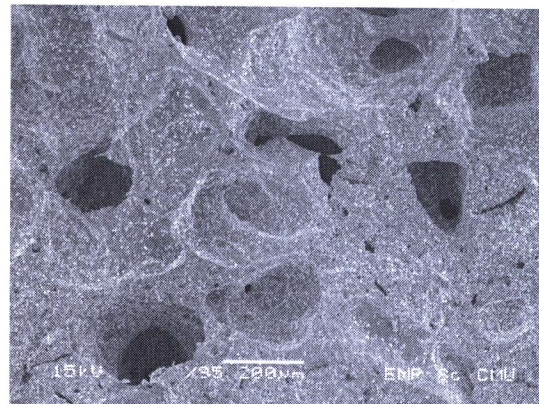
600°C (95x)

(B2-600) = 228.465 ± 83.994 μm



650°C (95x)

(B2-650) = 270.251 ± 119.126 μm

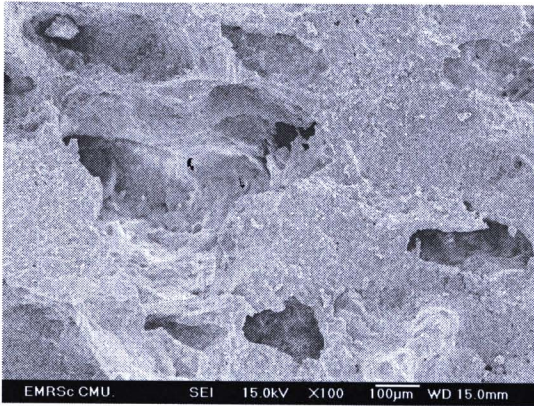


รูป 4.29 แสดงลักษณะของรูพรุนขนาดใหญ่และขนาดเล็ก ของเม็ดสารแก้วเซรามิกในอัตราส่วน 7:3 เเผาที่อุณหภูมิ 500-650°C จาก แก้วสูตร 45P<sub>2</sub>O<sub>5</sub>-36CaO-19Na<sub>2</sub>O

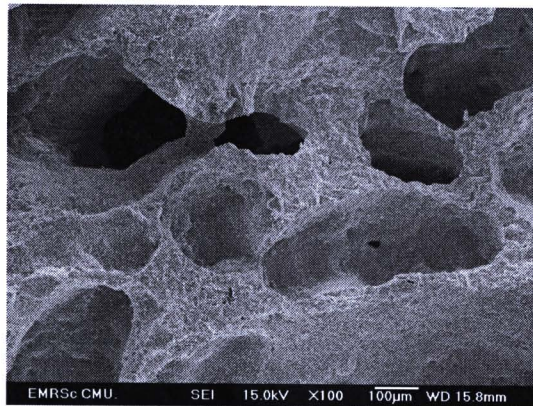
## Composition 7:3

●  $45\text{P}_2\text{O}_5\text{-}40\text{CaO}\text{-}15\text{Na}_2\text{O}$ 

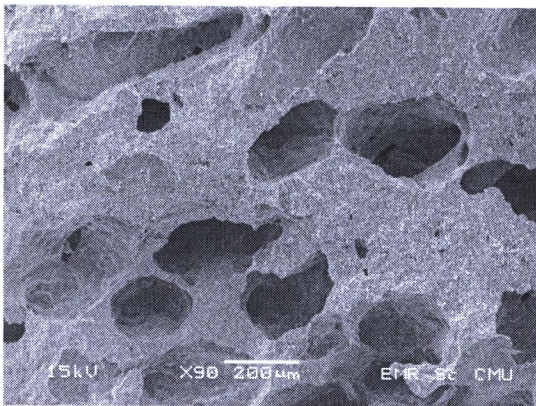
500°C (100x)

(C2-500) =  $274.853 \pm 142.298 \mu\text{m}$ 

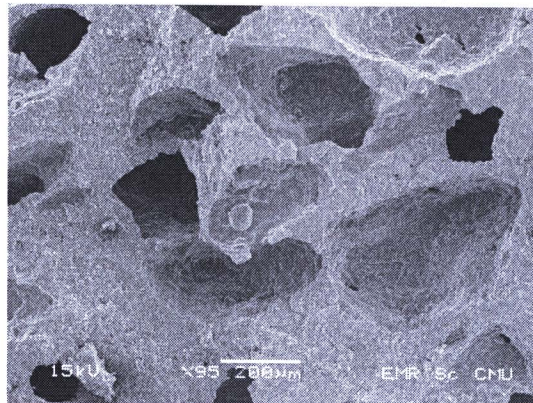
550°C (100x)

(C2-550) =  $238.698 \pm 92.273 \mu\text{m}$ 

600°C (90x)

(C2-600) =  $269.876 \pm 97.186 \mu\text{m}$ 

650°C (90x)

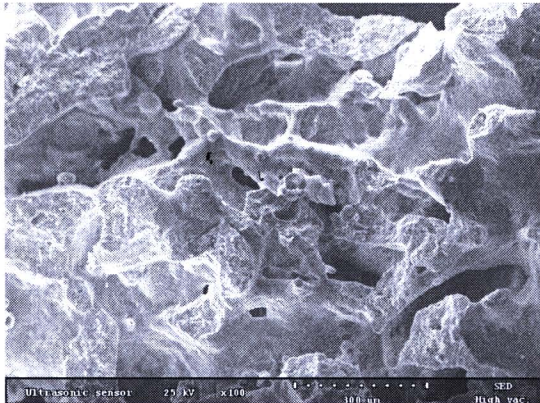
(C2-650) =  $284.563 \pm 122.195 \mu\text{m}$ 

รูป 4.30 แสดงลักษณะของรูพรุนขนาดใหญ่และขนาดเล็ก ของเม็ดสารแก้วเซรามิกในอัตราส่วน 7:3 เเผาที่อุณหภูมิ 500-650°C จาก แก้วสูตร  $45\text{P}_2\text{O}_5\text{-}40\text{CaO}\text{-}19\text{Na}_2\text{O}$

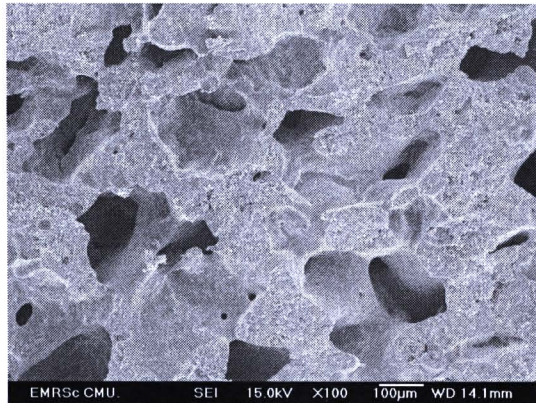
## Composition 5:5

●  $45\text{P}_2\text{O}_5\text{-}32\text{CaO-}23\text{Na}_2\text{O}$ 

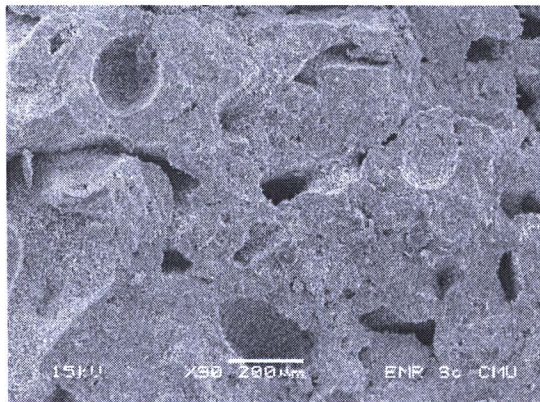
500°C (100x)

(A3-500) =  $200.449 \pm 101.94 \mu\text{m}$ 

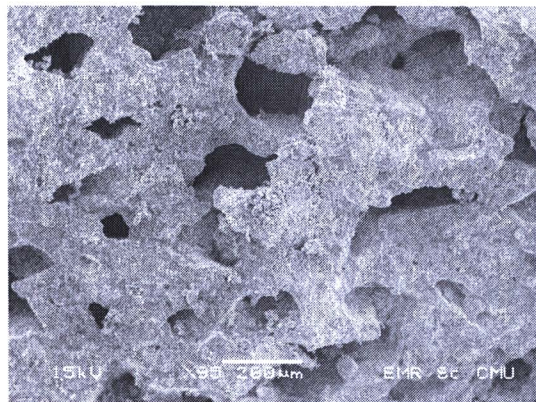
550°C (100x)

(A3-550) =  $191.846 \pm 56.449 \mu\text{m}$ 

600°C (100x)

(A3-600) =  $187.83 \pm 51.625 \mu\text{m}$ 

650°C (100x)

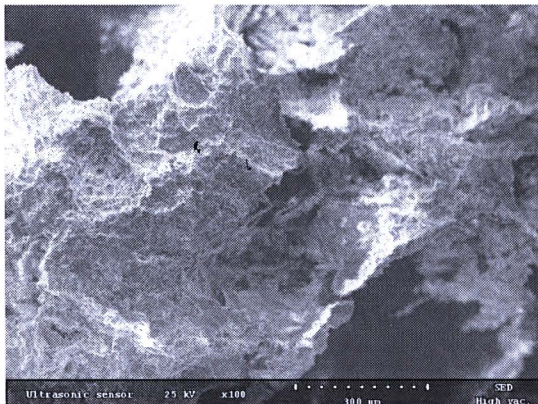
(A3-650) =  $243.281 \pm 88.303 \mu\text{m}$ 

รูป 4.31 แสดงลักษณะของรูพรุนขนาดใหญ่และขนาดเล็ก ของเม็ดสารแก้วเซรามิกในอัตราส่วน 5:5 เหนือที่อุณหภูมิ 500-650°C จาก แก้วสูตร  $45\text{P}_2\text{O}_5\text{-}32\text{CaO-}23\text{Na}_2\text{O}$

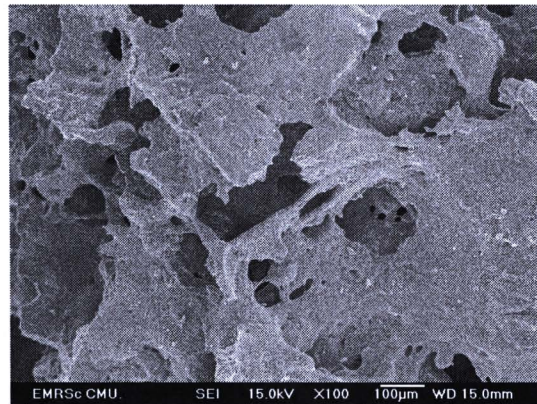
## Composition 5:5

●  $45\text{P}_2\text{O}_5\text{-}36\text{CaO-}19\text{Na}_2\text{O}$ 

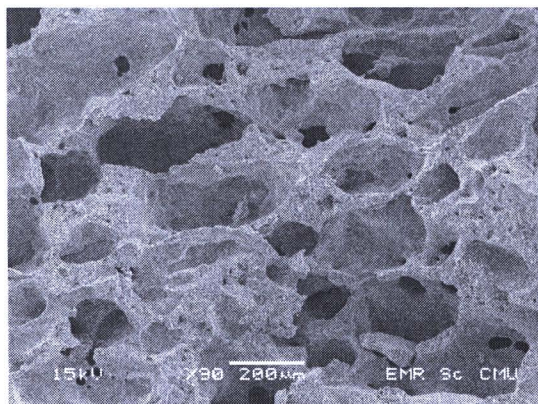
500°C (100x)

(B3-500) =  $325.247 \pm 117.595 \mu\text{m}$ 

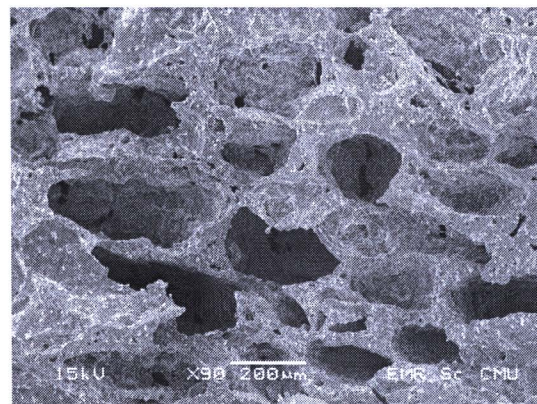
550°C (100x)

(B3-550) =  $241.006 \pm 97.959 \mu\text{m}$ 

600°C (90x)

(B3-600) =  $248.262 \pm 97.426 \mu\text{m}$ 

650°C (100x)

(B3-650) =  $245.762 \pm 84.395 \mu\text{m}$ 

รูป 4.32 แสดงลักษณะของรูพรุนขนาดใหญ่และขนาดเล็ก ของเม็ดยาแก้วเซรามิกในอัตราส่วน 5:5 เพาที่อุณหภูมิ 500-650°C จาก แก้วสูตร  $45\text{P}_2\text{O}_5\text{-}36\text{CaO-}19\text{Na}_2\text{O}$

## Composition 5:5

● 45P<sub>2</sub>O<sub>5</sub>-40CaO-15Na<sub>2</sub>O

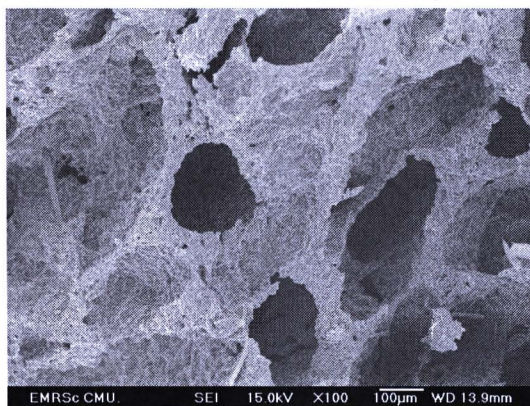
500°C (50x)

(C3-500) = 373.612 ± 91.257 μm



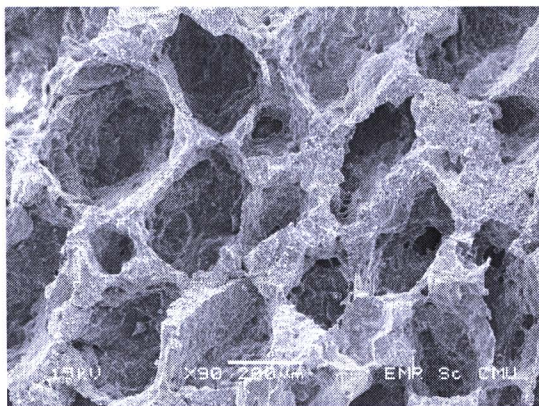
550°C (100x)

(C3-550) = 263.240 ± 78.766 μm



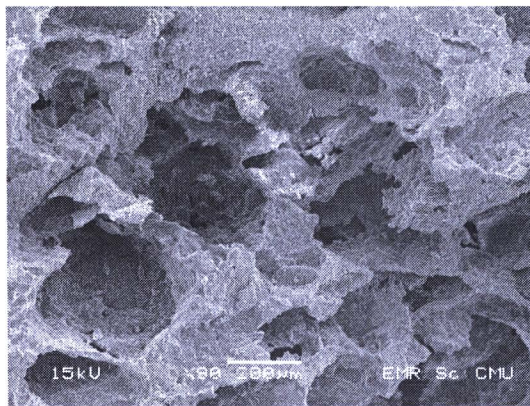
600°C (50x)

(C3-600) = 290.432 ± 85.888 μm

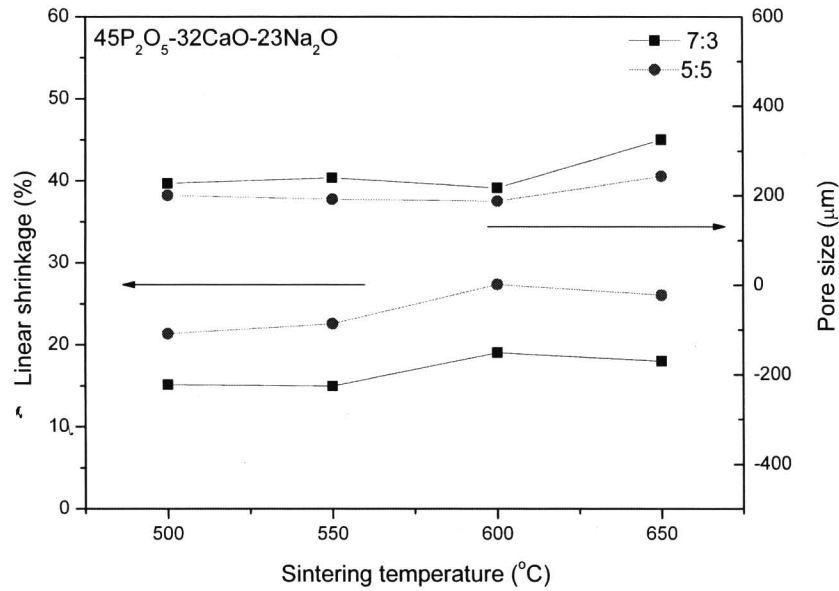


650°C (100x)

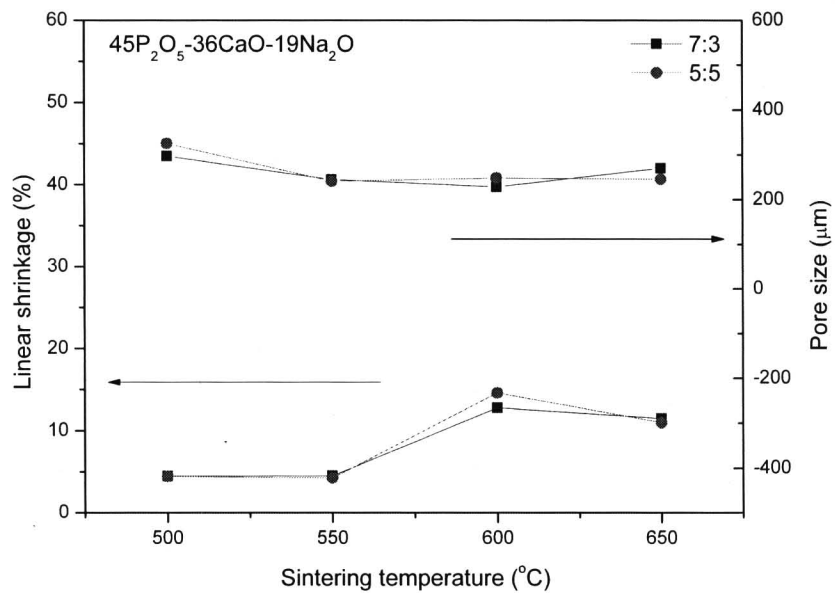
(C3-650) = 381.753 ± 102.917 μm



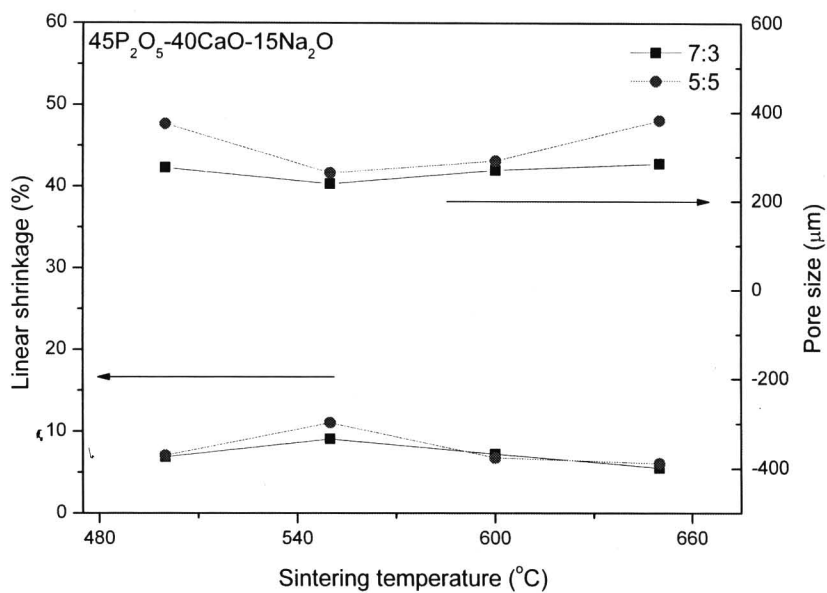
รูป 4.33 แสดงลักษณะของรูพรุนขนาดใหญ่และขนาดเล็ก ของเม็ดยาแก้วเซรามิกในอัตราส่วน 5:5 เพาที่อุณหภูมิ 500-650°C จาก แก้วสูตร 45P<sub>2</sub>O<sub>5</sub>-40CaO-19Na<sub>2</sub>O



รูป 4.34 การเปรียบเทียบระหว่างขนาดของรูพรุน (pore size) กับ การหดตัวเชิงเส้น (Linear shrinkage) ของเม็ดยานแก้วเซรามิกแคลเซียมฟอสเฟต ที่เผาผนึกที่อุณหภูมิ 500-650°C จาก แก้วสูตร  $45\text{P}_2\text{O}_5-32\text{CaO}-23\text{Na}_2\text{O}$



รูป 4.35 การเปรียบเทียบระหว่างขนาดของรูพรุน (pore size) กับ การหดตัวเชิงเส้น (Linear shrinkage) ของเม็ดยานแก้วเซรามิกแคลเซียมฟอสเฟต ที่เผาผนึกที่อุณหภูมิ 500-650°C จาก แก้วสูตร  $45\text{P}_2\text{O}_5-36\text{CaO}-19\text{Na}_2\text{O}$

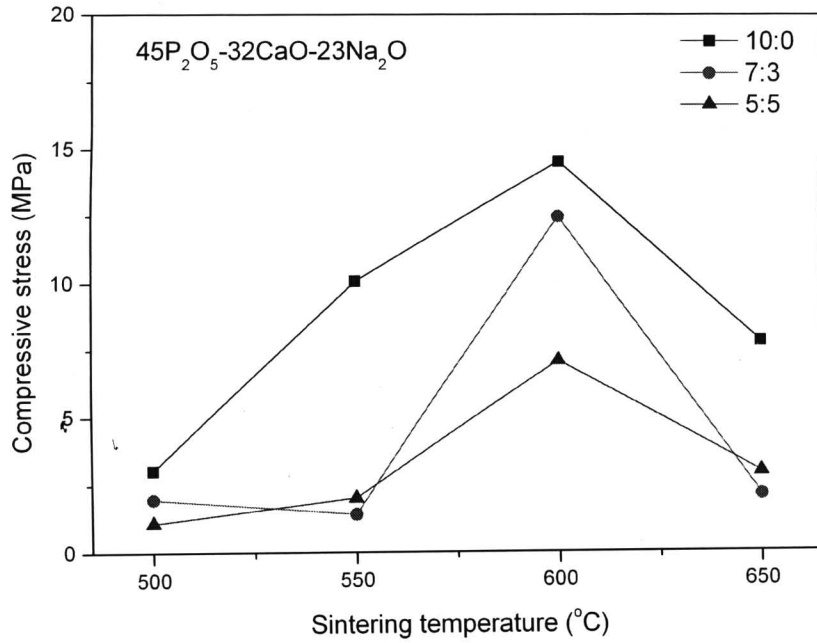


รูป 4.36 การเปรียบเทียบระหว่างขนาดของรูพรุน (pore size) กับ การหดตัวเชิงเส้น (Linear shrinkage) ของเม็ดสารแก้วเซรามิกแคลเซียมฟอสเฟต ที่เผาขึ้นที่อุณหภูมิ 500-650°C จาก แก้วสูตร 45P<sub>2</sub>O<sub>5</sub>-40CaO-15Na<sub>2</sub>O

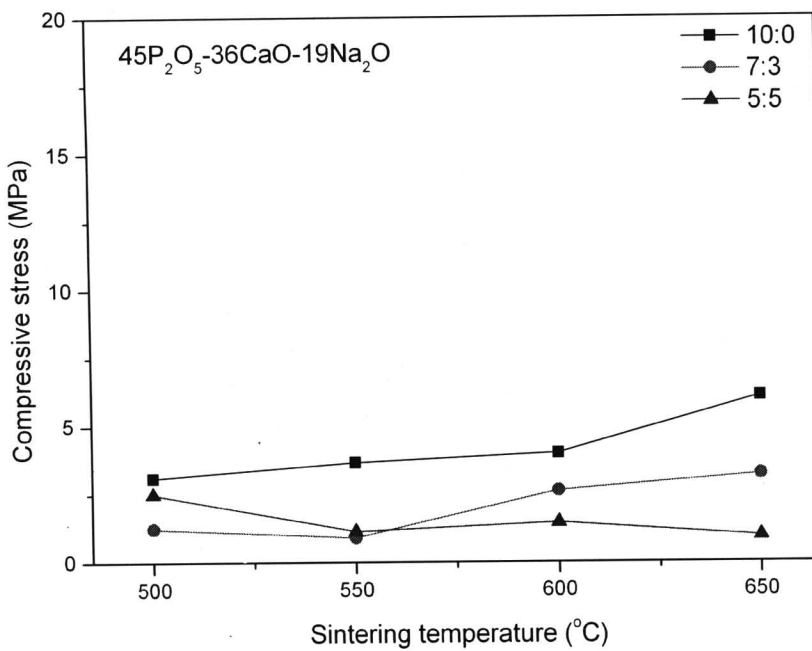
#### 4.2.6 ผลการศึกษาสมบัติเชิงกลของเม็ดสารแก้วเซรามิกแคลเซียมฟอสเฟต

การศึกษาสมบัติเชิงกลของเม็ดสารตัวอย่างจะใช้ เครื่องมือทดสอบแบบอเนกประสงค์ (Universal Testing Machine: UTM) ในโหมดทดสอบแรงกด โดยแรง (N) จะกดลงบนเม็ดสารจนเกิดการแตกหัก จากนั้นก็นำมาคำนวณหา compressive stress จะพบว่า ปัจจัยที่มีผลต่อสมบัติเชิงกลของเม็ดสารตัวอย่างก็คือ ความพรุน ถ้ามีความพรุนมาก จะทำให้สมบัติเชิงกลลดต่ำลงไปด้วย จะเห็นได้ว่า ที่อัตราส่วน 10:0 เป็นอัตราส่วนมี stress ต่ำที่สุด ดังรูป 4.37 จากรูปจะพบว่า เม็ดสารที่มี compressive stress สูงในทุกอัตราส่วนของการสร้างรูพรุน คือ เม็ดสารจากแก้วสูตร  $45\text{P}_2\text{O}_5-32\text{CaO}-23\text{Na}_2\text{O}$  ในอุณหภูมิ  $600^\circ\text{C}$  จึงเป็นไปได้ว่า ความแข็งแรงของเม็ดสารจะมาจากทั้งเฟสของแคลเซียมฟอสเฟต และ โซเดียมฟอสเฟตในเม็ดสาร เพราะ จะเห็นว่า ที่อุณหภูมิ  $600^\circ\text{C}$  เมื่อเทียบกับผลของ XRD จะมีทั้งเฟสของโซเดียมฟอสเฟต และ แคลเซียมฟอสเฟต ในปริมาณความเข้มข้นพอๆกัน และเมื่อเปรียบเทียบกับลักษณะของเฟสที่วิเคราะห์ด้วย SEM จะพบว่า เฟสของแคลเซียมฟอสเฟตที่มีลักษณะเป็นทรงเรขาคณิต และ เฟสของโซเดียมฟอสเฟตที่มีลักษณะของรูปร่างเข็ม เมื่ออยู่ด้วยกันในลักษณะของวัสดุผสม ซึ่งจะมีผลต่อการส่งเสริมสมบัติเชิงกล มากกว่าการมีแต่เฟสของแคลเซียมฟอสเฟตมาก ถึงแม้เฟสของแคลเซียมฟอสเฟตจะมีความหนาแน่นมากกว่าก็ตาม เม็ดสารที่มีลักษณะของเฟสที่อยู่ร่วมกันแบบวัสดุผสมนี้คือ เม็ดสาร A1-600 A1-650 A2-600 A-600 และ B2-500 เม็ดสารอื่นนอกเหนือจากนี้อาจมีบางอัตราส่วนที่พบลักษณะของวัสดุผสมบ้างแต่น้อย

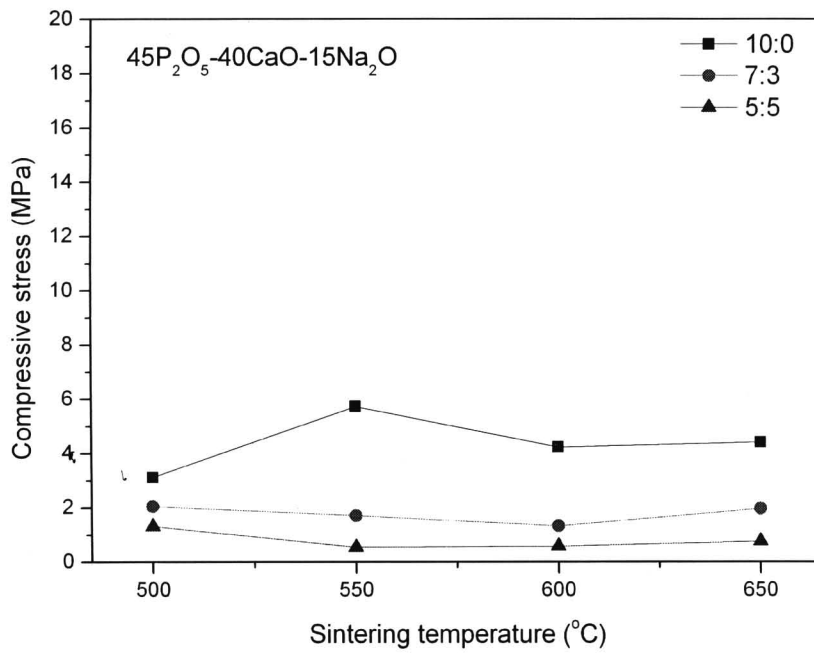
การเกิดลักษณะแบบวัสดุผสม แสดงดังรูป 4.40 (ก) เป็นเม็ดสารเซรามิก A2-600 หรือเม็ดสารที่ได้จากแก้วสูตร  $45\text{P}_2\text{O}_5-32\text{CaO}-23\text{Na}_2\text{O}$  ผสมการบูรในอัตราส่วน 7:3 และเผาที่อุณหภูมิ  $600^\circ\text{C}$  จะเห็นว่า มีลักษณะของเฟสแบบเข็มของผลึกโซเดียมฟอสเฟต กระจายอยู่ในเม็ดสาร โดย compressive stress ของเม็ดสาร A2-600 เท่ากับ  $12.254\text{ N/mm}^3$  ซึ่งจะมากกว่า compressive stress ของเม็ดสาร C2-600 หรือเม็ดสารจากแก้วสูตร  $45\text{P}_2\text{O}_5-40\text{CaO}-15\text{Na}_2\text{O}$  ผสมการบูรในอัตราส่วน 7:3 และเผาที่อุณหภูมิ  $600^\circ\text{C}$  เท่ากับ  $1.338\text{ N/mm}^2$  เมื่อพิจารณาจากรูป 4.40 (ข) จะเห็นว่าไม่มีลักษณะของการกระจายตัวของผลึกโซเดียมฟอสเฟต ที่มีโครงสร้างแบบเข็มอยู่



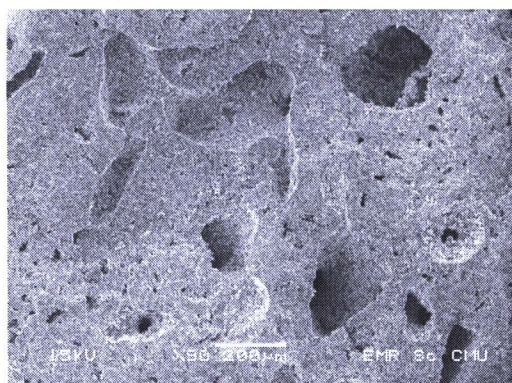
รูป 4.37 Compressive stress ของเม็ดสารแก้วเซรามิกแคลเซียมฟอสเฟต ที่เผาพริกที่อุณหภูมิ 500-650°C จากแก้วสูตร 45P<sub>2</sub>O<sub>5</sub>-32CaO-23Na<sub>2</sub>O



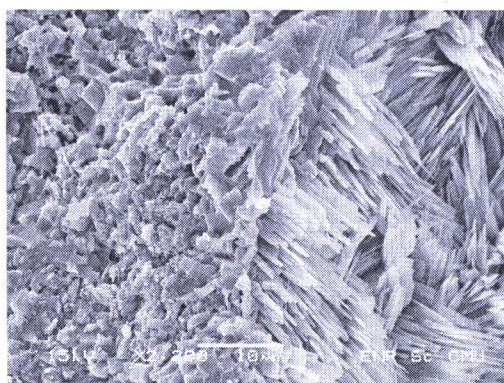
รูป 4.38 Compressive stress ของเม็ดสารแก้วเซรามิกแคลเซียมฟอสเฟต ที่เผาพริกที่อุณหภูมิ 500-650°C จากแก้วสูตร 45P<sub>2</sub>O<sub>5</sub>-36CaO-19Na<sub>2</sub>O



รูป 4.39 Compressive stress ของเม็ดสารแก้วเซรามิกแคลเซียมฟอสเฟต ที่เผาขึ้นที่อุณหภูมิ 500-650°C จากแก้วสูตร  $45\text{P}_2\text{O}_5-40\text{CaO}-15\text{Na}_2\text{O}$

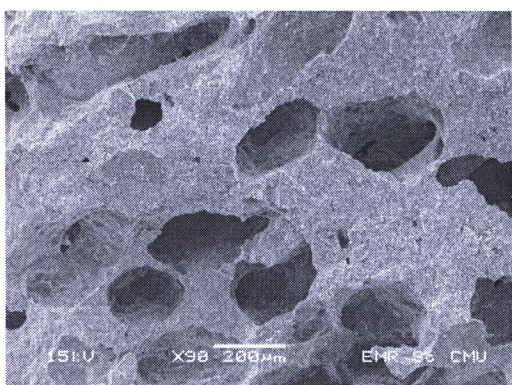


(90x)

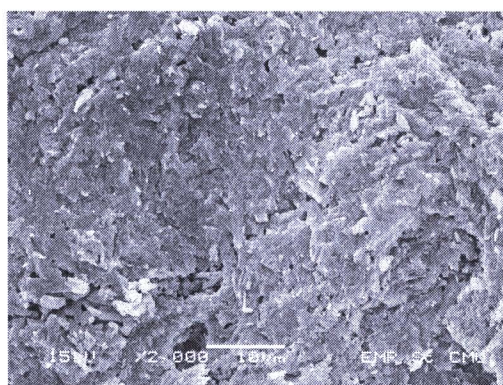


(2200x)

(ก)



(90x)



(2000x)

(ข)

**รูป 4.40** แสดงลักษณะแบบวัสดุผสมของเม็คสารแก้วเซรามิก A2-600 (ก) เทียบกับ โครงสร้างที่ไม่เกิดลักษณะแบบวัสดุผสมของเม็คสารเซรามิก C2-600 (ข)